

Министерство сельского хозяйства российской федерации
Федеральное государственное бюджетное образовательное учреждение
высшего образования
КУБАНСКИЙ ГОСУДАРСТВЕННЫЙ АГРАРНЫЙ УНИВЕРСИТЕТ
им. И.Т. Трубилина

Факультет прикладной информатики
Кафедра компьютерных технологий и систем

Лабораторная работа

по дисциплине: Интеллектуальные информационные системы

на тему:

АСК – анализ зависимости экономической активности населения от возраста

выполнил студент группы: ПИ1401
Овсестьян Елена Самвеловна

Руководитель работы:
профессор Луценко Е.В.

Краснодар 2017

Содержание

| | |
|---|----|
| Введение..... | 3 |
| 1. Синтез и верификация моделей..... | 4 |
| 1.1. Описание решения..... | 4 |
| 1.2. Преобразование входных данных из HTML – формата в файлы Microsoft Excel..... | 4 |
| 1.3. Синтез и верификация статистических и интеллектуальных моделей | 10 |
| 1.4. Виды моделей системы «Эйдос» | 12 |
| 1.5. Результаты верификации моделей..... | 14 |
| 2. Решение задач в наиболее достоверной модели..... | 18 |
| 2.1. Решение задачи идентификации | 18 |
| 2.2. Когнитивные функции | 21 |
| 2.3. SWOT и PEST матрицы и диаграммы | 26 |
| 2.4. Кластерно – конструктивный анализ признаков..... | 29 |
| 2.5. Нелокальные нейроны и нелокальные нейронные сети..... | 30 |
| Заключение | 33 |
| Литература | 34 |

Введение

В развитии современных информационных технологий наиболее перспективным направлением выступает создание систем искусственного интеллекта. Из-за существования множества альтернатив систем искусственного интеллекта необходимо проводить оценку качества математических моделей таких систем. Одним из методов оценки качества математических моделей выступает метод автоматизированного системно-когнитивного анализа (АСК – анализ).

В данной работе представлен АСК – анализ зависимости экономической активности населения от возраста. В качестве входных данных используется статистическая таблица «Экономическая активность населения по возрастным группам».

Для проведения АСК – анализа используются программы Microsoft Office Word и Excel, блокнот, а также система искусственного интеллекта «Эйдос – X++».

1. Синтез и верификация моделей

1.1. Описание решения

Для решения поставленной задачи воспользуемся методологией АСК-анализа. Процесс решения задачи проведем в 4 этапа:

1. Преобразование входных данных из HTML – формата в файлы Microsoft Excel.
2. Преобразование файлов Microsoft Excel в базы данных системы «Эйдос».
3. Синтез и верификация моделей предметной области.
4. Использование моделей для решения задач идентификации, прогнозирования и исследования предметной области.

1.2. Преобразование входных данных из HTML – формата в файлы Microsoft Excel

Из электронного ресурса <http://statistika.ru> используем таблицу экономической активности населения по возрастным группам – «Экономическая активность населения по возрастным группам»: http://statistika.ru/stat/stat5/2007/12/21/stat5_10142.html. Из этой таблицы, воспользуемся следующими колонками:

1. Год;
2. Всего экономически активное население;
3. Всего экономически неактивное население;
4. до 20;
5. 20-24;
6. 25-29;
7. 30-34;
8. 35-39;

9. 40-44;
10. 45-49;
11. 50-54;
12. 55-59;
13. 60 и более;
14. Население в трудоспособном возрасте.

Столбцы 4-25 описательные шкалы.

Столбцы 2,3 являются классификационными шкалами.

| | Всего активное | Всего неактивное | до 20 активное | 20-24 активное | 25-29 активное | 30-34 активное | 35-39 активное | 40-44 активное | 45-49 активное | 50-54 активное | 55-59 активное | 60 и более активное | население в трудоспособном возрасте | до 20 неактивное | 20-24 неактивное | 25-29 неактивное | 30-34 неактивное | 35-39 неактивное | 40-44 неактивное | 45-49 неактивное | 50-54 неактивное | 55-59 неактивное | 60 и более неактивное | Население в трудоспособном возрасте |
|----|----------------|------------------|----------------|----------------|----------------|----------------|----------------|----------------|----------------|----------------|----------------|---------------------|-------------------------------------|------------------|------------------|------------------|------------------|------------------|------------------|------------------|------------------|------------------|-----------------------|-------------------------------------|
| 1 | | | | | | | | | | | | | | | | | | | | | | | | |
| 2 | 64,8 | 35,2 | 23,9 | 77,2 | 87 | 89 | 90,6 | 90,7 | 89,3 | 78,4 | 47,9 | 11,3 | 80,3 | 76,1 | 22,8 | 13 | 11 | 9,4 | 9,3 | 10,7 | 21,6 | 52,1 | 88,7 | 19,7 |
| 3 | 64,8 | 35,2 | 14,3 | 68,6 | 86,5 | 89 | 90,9 | 91 | 89,1 | 83,8 | 51,8 | 17 | 78,6 | 85,7 | 31,4 | 13,5 | 11 | 9,1 | 9 | 10,9 | 16,2 | 48,2 | 83 | 21,4 |
| 4 | 64,3 | 35,7 | 15,8 | 68 | 86,2 | 87,7 | 90,2 | 89,7 | 88,3 | 81,6 | 53,4 | 15,4 | 77,2 | 84,2 | 32 | 13,8 | 12,3 | 9,8 | 10,3 | 12 | 17,6 | 46,6 | 84,6 | 22,8 |
| 5 | 65,2 | 34,8 | 16,5 | 67,3 | 87,5 | 89,1 | 90,4 | 90,2 | 88,3 | 82,6 | 58,6 | 16,9 | 77,5 | 83,5 | 32,7 | 12,5 | 10,9 | 9,6 | 9,8 | 11,7 | 17,4 | 41,4 | 83,1 | 22,5 |
| 6 | 65,2 | 34,8 | 15,1 | 64,9 | 87,8 | 89 | 90,7 | 90,9 | 89,4 | 82,7 | 60,6 | 17,2 | 77 | 84,9 | 35,1 | 12,2 | 11 | 9,3 | 9,1 | 10,6 | 17,3 | 39,4 | 82,8 | 18,2 |
| 7 | 65,4 | 34,6 | 15,1 | 62,3 | 87,6 | 89,6 | 90,6 | 90,5 | 89,5 | 82,2 | 60,8 | 16,6 | 76,6 | 84,9 | 37,7 | 12,4 | 10,4 | 9,4 | 9,5 | 10,5 | 17,8 | 39,2 | 83,4 | 18,8 |
| 8 | 72,1 | 27,9 | 25,2 | 82,8 | 92,4 | 93,1 | 93,4 | 91,8 | 90,9 | 84,1 | 70,3 | 17 | 82,8 | 74,8 | 17,2 | 7,8 | 6,9 | 6,6 | 8,2 | 9,1 | 15,9 | 29,7 | 83 | 17,2 |
| 9 | 70,9 | 29,1 | 16,6 | 72,7 | 91,9 | 93,7 | 93,4 | 91,7 | 90,7 | 87,9 | 70,9 | 24,8 | 81 | 83,4 | 27,3 | 8,1 | 6,3 | 6,6 | 8,3 | 9,3 | 12,1 | 29,1 | 75,2 | 19 |
| 10 | 70,3 | 29,9 | 18,3 | 74 | 92,5 | 93 | 92,6 | 90,3 | 89,6 | 85,2 | 71,1 | 21,5 | 80,2 | 81,7 | 26 | 7,5 | 7,5 | 7,4 | 8,7 | 10,4 | 14,8 | 28,9 | 78,5 | 19,8 |
| 11 | 70,5 | 29,5 | 18,2 | 72,4 | 92,3 | 93,1 | 92,4 | 91,6 | 89,6 | 85,1 | 72 | 23,8 | 79,9 | 81,9 | 27,6 | 7,7 | 6,9 | 7,6 | 8,4 | 10,4 | 14,9 | 28 | 76,2 | 20,1 |
| 12 | 70,5 | 29,5 | 17 | 70 | 93,3 | 93,4 | 93,2 | 92,6 | 90,5 | 86,2 | 75,5 | 22,9 | 79,7 | 83 | 30 | 6,7 | 6,6 | 6,8 | 7,4 | 9,5 | 13,8 | 24,5 | 77,1 | 17,2 |
| 13 | 70,4 | 29,6 | 17,1 | 67,3 | 92,9 | 93,5 | 92,2 | 91,4 | 90 | 85 | 75,7 | 23,2 | 78,8 | 82,9 | 32,7 | 7,1 | 6,5 | 7,8 | 8,6 | 10 | 15 | 24,3 | 76,8 | 18,2 |
| 14 | 58,3 | 41,7 | 22,4 | 71,5 | 81,2 | 84,8 | 87,8 | 89,7 | 87,9 | 73,6 | 30,4 | 7,8 | 77,8 | 77,6 | 28,5 | 18,8 | 15,2 | 12,2 | 10,3 | 12,1 | 26,4 | 69,6 | 92,2 | 22,4 |
| 15 | 59,2 | 40,8 | 12 | 64,6 | 80,7 | 84,2 | 88,4 | 90,3 | 87,7 | 80,2 | 37 | 12,1 | 76 | 88 | 35,4 | 19,3 | 15,8 | 11,6 | 9,7 | 12,3 | 19,8 | 63 | 87,9 | 24 |
| 16 | 58,8 | 41,2 | 13,2 | 61,9 | 79,6 | 82,1 | 87,8 | 89,1 | 87 | 78,4 | 39,6 | 11,6 | 74,1 | 86,8 | 37,8 | 20,1 | 14,7 | 12,2 | 10,9 | 12,9 | 21,6 | 60,3 | 88,4 | 25,9 |
| 17 | 60,3 | 39,7 | 14,8 | 62,1 | 82,5 | 84,8 | 88,4 | 88,9 | 87,2 | 80,4 | 48 | 12,5 | 75,1 | 85,3 | 37,9 | 17,5 | 15,2 | 11,6 | 11,3 | 12,8 | 19,6 | 52 | 87,5 | 24,9 |
| 18 | 60,4 | 39,6 | 13,3 | 59,7 | 82,3 | 84,6 | 88,2 | 89,3 | 88,5 | 79,6 | 48,9 | 13,6 | 74,3 | 86,7 | 40,3 | 17,7 | 15,4 | 11,8 | 10,7 | 11,5 | 20,4 | 51,1 | 86,4 | 19,2 |
| 19 | 60,8 | 39,2 | 13,1 | 57,2 | 82,4 | 85,8 | 89 | 89,6 | 89 | 79,8 | 49,1 | 12,5 | 74,3 | 86,9 | 42,8 | 17,6 | 14,2 | 11 | 10,4 | 11 | 20,2 | 50,9 | 87,5 | 19,3 |

Рис 1 – Таблица экономической активности по возрастным группам

Поскольку ввод исходных данных в систему «Эйдос» планируется осуществить с помощью ее универсального программного интерфейса импорта данных из внешних баз данных, который работает с файлами MS Excel, то преобразуем данные из html-файла в xls-файл, для чего выполним следующие операции. Скопируем получившуюся таблицу из Microsoft Word в Microsoft Excel и запишем ее с именем: Inp_data.xlsx в папку: c:\Aidos-X\AID_DATA\Inp_data\. Затем корректируем таблицу таким образом, чтобы в ней не было колонок и строк с одинаковыми именами. В результате получаем таблицу, полностью удовлетворяющую требованиям системы «Эйдос» для обработки данных.

Для загрузки базы исходных данных в систему «Эйдос» необходимо воспользоваться универсальным программным интерфейсом для ввода данных из внешних баз данных табличного вида, т.е. режимом 2.3.2.2 (рисунок 2).

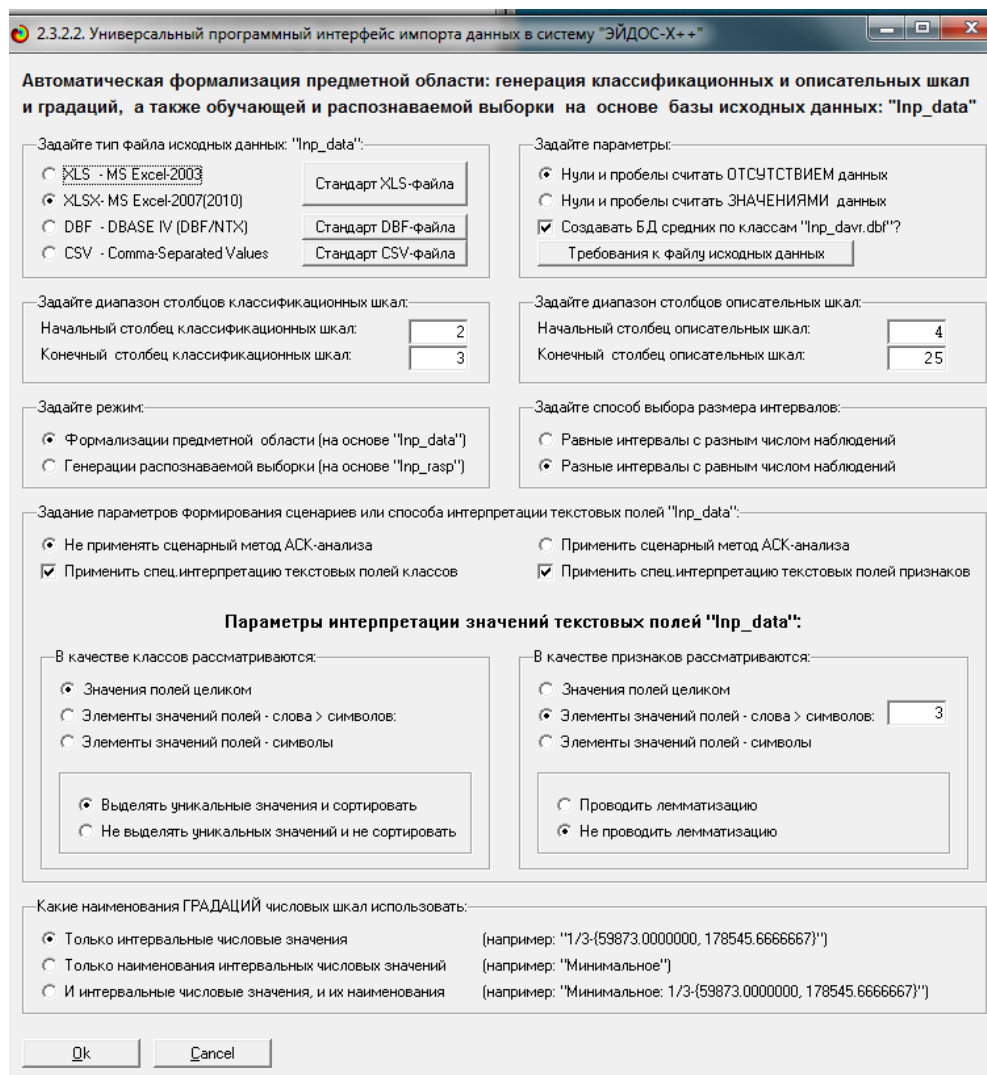


Рис 2 – Экранная форма универсального программного интерфейса импорта данных в систему «Эйдос» (режим 2.3.2.2.)

В экранной форме, приведенной на рисунке 2, задать настройки, показанные на рисунке:

– «Задайте тип файла исходных данных Inp_data»: «XLSX – MS Excel-2007»;

– «Задать диапазон столбцов классификационных шкал»: «Начальный столбец классификационных шкал» – 2, «Конечный столбец классификационных шкал» – 3;

– «Задать диапазон столбцов описательных шкал»: «Начальный столбец описательных шкал» – 4, «Конечный столбец описательных шкал» – 25;

– «Задание параметров формирования сценариев или способа интерпретации текстовых полей»: «Не применять сценарный метод АСК - анализа и спец. интерпретацию ТХТ-полей».

После нажать кнопку «ОК». Далее открывается окно, где размещена информация о размерности модели (рисунок 3). В этом окне необходимо нажать кнопку «Выйти на создание модели».

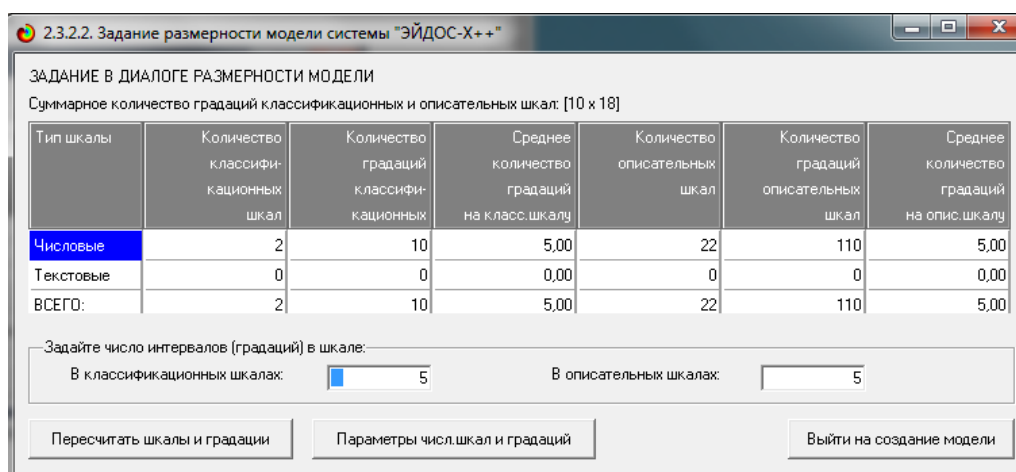


Рис 3 – Задание размерности модели системы «Эйдос»

Далее открывается окно, отображающее стадию процесса импорта данных из внешней БД «Inp_data.xlsx» в систему «Эйдос» (рисунок 4), а также прогноз времени завершения этого процесса. В том окне необходимо дождаться завершения формализации предметной области и нажать кнопку «ОК».

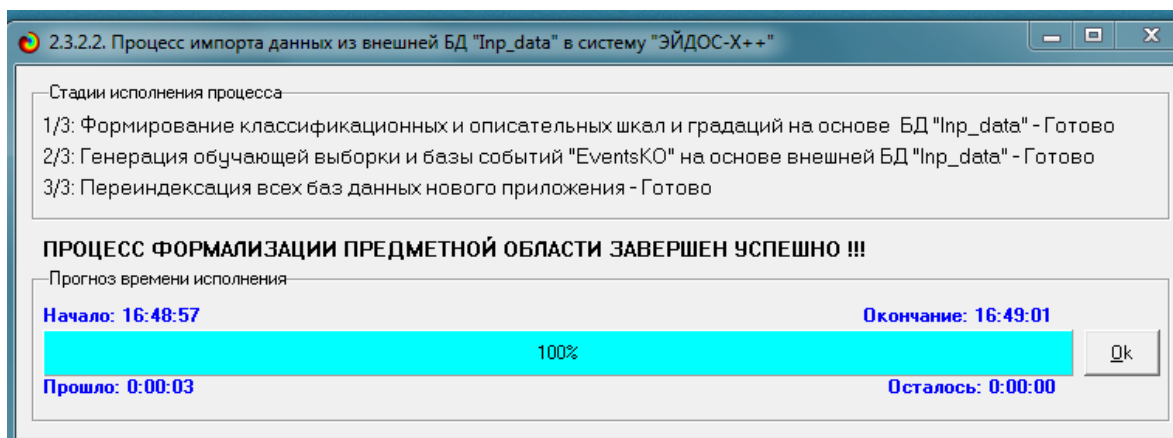


Рис 4 – Процесс импорта данных из файла «Inp_data.xlsx» в систему «Эйдос»

В результате формируются классификационные и описательные шкалы и градации, с применением которых исходные данные кодируются и представляются в форме эвентологических баз данных. Этим самым полностью автоматизировано выполняется 2-й этап АСК-анализа «Формализация предметной области». Для просмотра классификационных шкал и градаций необходимо запустить режим 2.1 (рисунок 5).

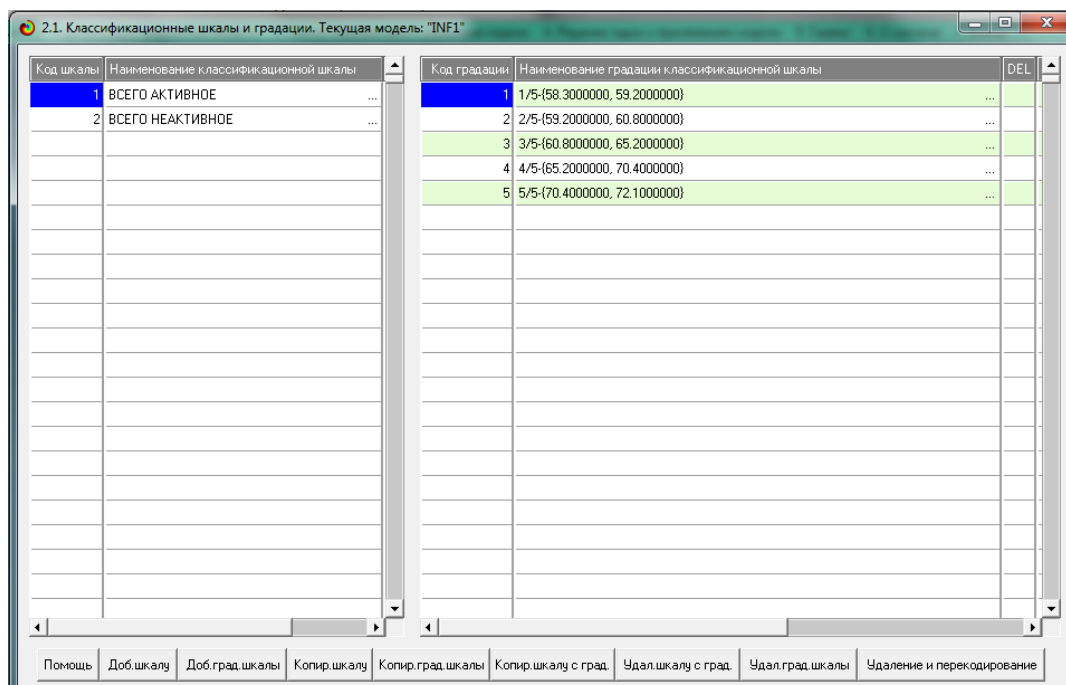


Рис 5 – Классификационные шкалы и градации

Для просмотра описательных шкал и градаций необходимо запустить режим 2.2 (рисунок 6), а обучающей выборки режим 2.3.1. (рисунок 7).

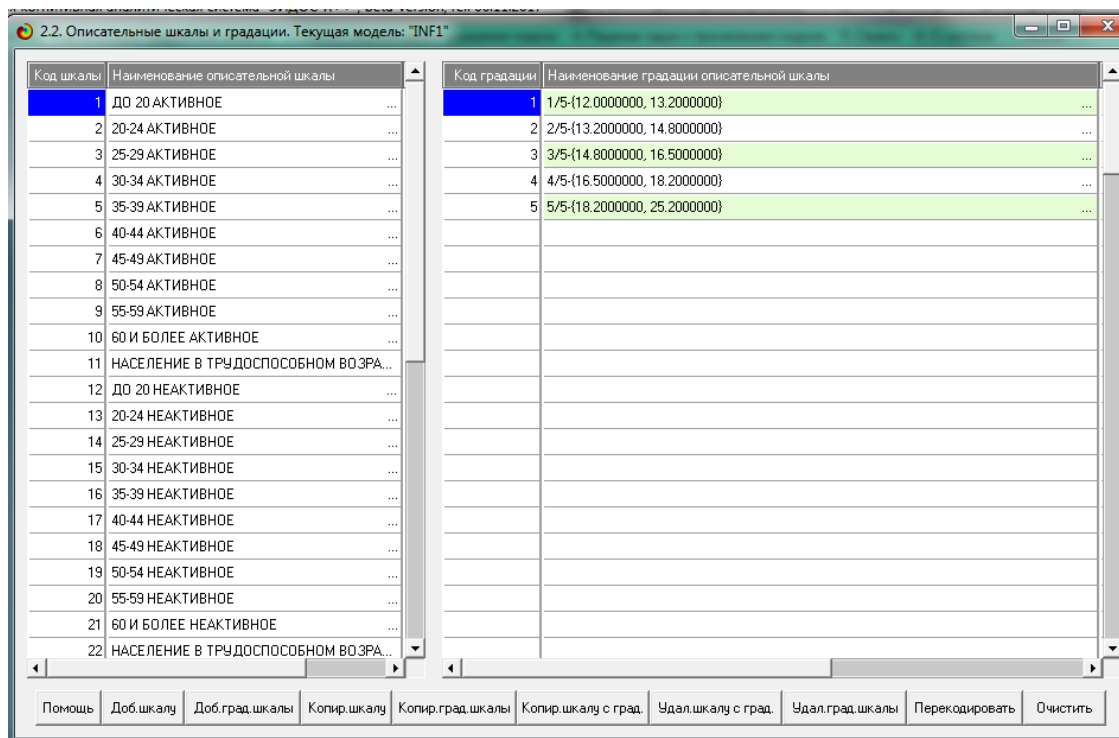


Рис 6 – Описательные шкалы и градации

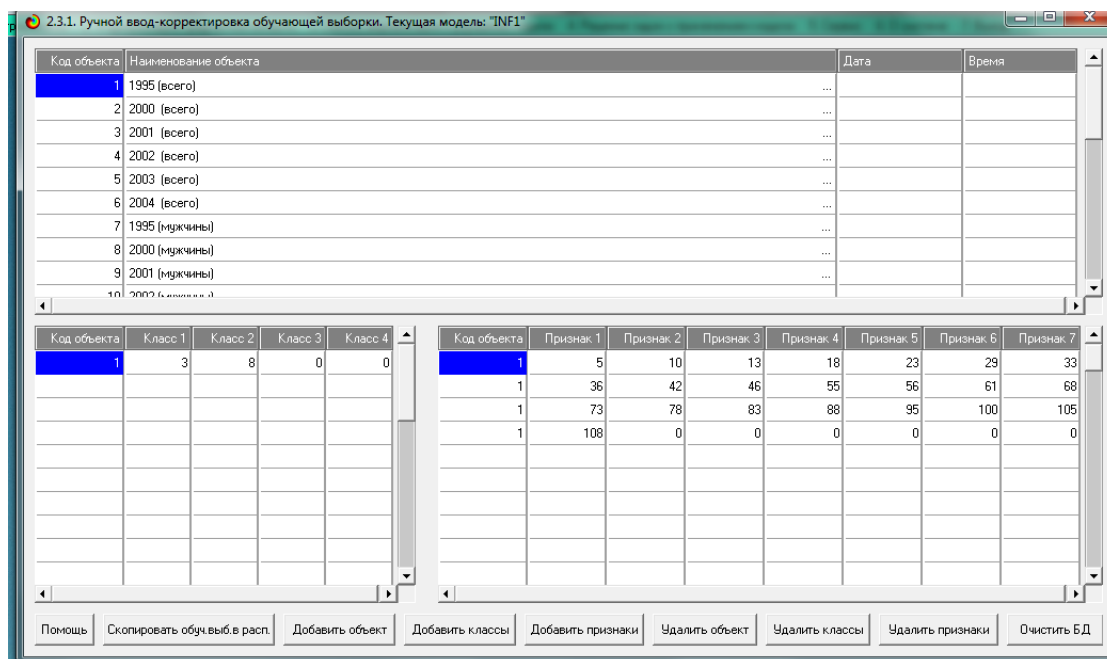


Рис 7 – Обучающая выборка (фрагмент)

ПАРАМЕТРЫ ШКАЛ И ГРАДАЦИЙ С АДАПТИВНЫМИ ГРАНИЦАМИ И ПРИБЛИЖЕННО РАВНЫМ КОЛИЧЕСТВОМ НАБЛЮДЕНИЙ ПО ГРАДАЦИЯМ с коррекцией ошибки округления числа наблюдений по интервалу градаций при переходе к следующей градации

КЛАССИФИКАЦИОННАЯ ШКАЛА: код: [1], назв.: "ВСЕГО АКТИВНОЕ", набл_на шкалу (всего): 18, тип/число градаций в шкале: "Равное число событий в интервалах"/5
1 Наим_градации: 1/5-{8.3000000, 59.2000000}, размер интервала= 0.9000000, расч./факт.число наблюдений на градации: 3/3
2 Наим_градации: 2/5-{59.2000000, 60.8000000}, размер интервала= 1.6000000, расч./факт.число наблюдений на градации: 3/3
3 Наим_градации: 3/5-{60.8000000, 65.2000000}, размер интервала= 4.4000000, расч./факт.число наблюдений на градации: 4/4
4 Наим_градации: 4/5-{65.2000000, 70.4000000}, размер интервала= 5.2000000, расч./факт.число наблюдений на градации: 4/4
5 Наим_градации: 5/5-{70.4000000, 72.1000000}, размер интервала= 1.7000000, расч./факт.число наблюдений на градации: 4/4

КЛАССИФИКАЦИОННАЯ ШКАЛА: код: [2], назв.: "ВСЕГО НЕАКТИВНОЕ", набл_на шкалу (всего): 18, тип/число градаций в шкале: "Равное число событий в интервалах"/5
6 Наим_градации: 1/5-{27.9000000, 29.5000000}, размер интервала= 1.6000000, расч./факт.число наблюдений на градации: 3/3
7 Наим_градации: 2/5-{29.5000000, 29.9000000}, размер интервала= 0.4000000, расч./факт.число наблюдений на градации: 3/3
8 Наим_градации: 3/5-{29.9000000, 35.2000000}, размер интервала= 5.3000000, расч./факт.число наблюдений на градации: 4/4
9 Наим_градации: 4/5-{35.2000000, 39.6000000}, размер интервала= 4.4000000, расч./факт.число наблюдений на градации: 4/4
10 Наим_градации: 5/5-{39.6000000, 41.7000000}, размер интервала= 2.1000000, расч./факт.число наблюдений на градации: 4/4

ОПИСАТЕЛЬНАЯ ШКАЛА: код: [1], назв.: "ДО 20 АКТИВНОЕ", набл_на шкалу (всего): 18, тип/число градаций в шкале: "Равное число событий в интервалах"/5
1 Наим_градации: 1/5-{12.0000000, 13.2000000}, размер интервала= 1.2000000, расч./факт.число наблюдений на градации: 3/3
2 Наим_градации: 2/5-{13.2000000, 14.8000000}, размер интервала= 1.6000000, расч./факт.число наблюдений на градации: 3/3
3 Наим_градации: 3/5-{14.8000000, 16.5000000}, размер интервала= 1.7000000, расч./факт.число наблюдений на градации: 4/4
4 Наим_градации: 4/5-{16.5000000, 18.2000000}, размер интервала= 1.7000000, расч./факт.число наблюдений на градации: 4/4
5 Наим_градации: 5/5-{18.2000000, 25.2000000}, размер интервала= 7.0000000, расч./факт.число наблюдений на градации: 4/4

ОПИСАТЕЛЬНАЯ ШКАЛА: код: [2], назв.: "20-24 АКТИВНОЕ", набл_на шкалу (всего): 18, тип/число градаций в шкале: "Равное число событий в интервалах"/5
6 Наим_градации: 1/5-{87.2000000, 61.9000000}, размер интервала= 4.7000000, расч./факт.число наблюдений на градации: 3/3
7 Наим_градации: 2/5-{61.9000000, 64.6000000}, размер интервала= 2.7000000, расч./факт.число наблюдений на градации: 3/3
8 Наим_градации: 3/5-{64.6000000, 69.0000000}, размер интервала= 4.4000000, расч./факт.число наблюдений на градации: 4/4
9 Наим_градации: 4/5-{69.0000000, 72.4000000}, размер интервала= 4.4000000, расч./факт.число наблюдений на градации: 4/4
10 Наим_градации: 5/5-{72.4000000, 82.8000000}, размер интервала= 10.4000000, расч./факт.число наблюдений на градации: 4/4

ОПИСАТЕЛЬНАЯ ШКАЛА: код: [3], назв.: "25-29 АКТИВНОЕ", набл_на шкалу (всего): 18, тип/число градаций в шкале: "Равное число событий в интервалах"/5
11 Наим_градации: 1/5-{79.6000000, 81.2000000}, размер интервала= 1.6000000, расч./факт.число наблюдений на градации: 3/3
12 Наим_градации: 2/5-{81.2000000, 82.5000000}, размер интервала= 1.3000000, расч./факт.число наблюдений на градации: 3/3
13 Наим_градации: 3/5-{82.5000000, 87.5000000}, размер интервала= 5.0000000, расч./факт.число наблюдений на градации: 4/4
14 Наим_градации: 4/5-{87.5000000, 92.3000000}, размер интервала= 4.8000000, расч./факт.число наблюдений на градации: 4/4
15 Наим_градации: 5/5-{92.3000000, 93.3000000}, размер интервала= 1.0000000, расч./факт.число наблюдений на градации: 4/4

ОПИСАТЕЛЬНАЯ ШКАЛА: код: [4], назв.: "30-34 АКТИВНОЕ", набл_на шкалу (всего): 18, тип/число градаций в шкале: "Равное число событий в интервалах"/5
16 Наим_градации: 1/5-{82.1000000, 84.6000000}, размер интервала= 2.5000000, расч./факт.число наблюдений на градации: 3/3
17 Наим_градации: 2/5-{84.6000000, 85.8000000}, размер интервала= 1.2000000, расч./факт.число наблюдений на градации: 3/3
18 Наим_градации: 3/5-{85.8000000, 89.0000000}, размер интервала= 3.2000000, расч./факт.число наблюдений на градации: 4/4
19 Наим_градации: 4/5-{89.0000000, 93.1000000}, размер интервала= 4.1000000, расч./факт.число наблюдений на градации: 4/4
20 Наим_градации: 5/5-{93.1000000, 93.7000000}, размер интервала= 0.6000000, расч./факт.число наблюдений на градации: 4/4

ОПИСАТЕЛЬНАЯ ШКАЛА: код: [5], назв.: "35-39 АКТИВНОЕ", набл_на шкалу (всего): 18, тип/число градаций в шкале: "Равное число событий в интервалах"/5
21 Наим_градации: 1/5-{87.8000000, 88.2000000}, размер интервала= 0.4000000, расч./факт.число наблюдений на градации: 3/3
22 Наим_градации: 2/5-{88.2000000, 89.0000000}, размер интервала= 0.8000000, расч./факт.число наблюдений на градации: 3/3
23 Наим_градации: 3/5-{89.0000000, 90.6000000}, размер интервала= 1.6000000, расч./факт.число наблюдений на градации: 4/4
24 Наим_градации: 4/5-{90.6000000, 92.4000000}, размер интервала= 1.8000000, расч./факт.число наблюдений на градации: 4/4
25 Наим_градации: 5/5-{92.4000000, 93.4000000}, размер интервала= 1.0000000, расч./факт.число наблюдений на градации: 4/4

ОПИСАТЕЛЬНАЯ ШКАЛА: код: [6], назв.: "40-44 АКТИВНОЕ", набл_на шкалу (всего): 18, тип/число градаций в шкале: "Равное число событий в интервалах"/5
26 Наим_градации: 1/5-{88.9000000, 89.3000000}, размер интервала= 0.4000000, расч./факт.число наблюдений на градации: 3/3
27 Наим_градации: 2/5-{89.3000000, 89.7000000}, размер интервала= 0.4000000, расч./факт.число наблюдений на градации: 3/3
28 Наим_градации: 3/5-{89.7000000, 90.5000000}, размер интервала= 0.8000000, расч./факт.число наблюдений на градации: 4/4
29 Наим_градации: 4/5-{90.5000000, 91.4000000}, размер интервала= 0.9000000, расч./факт.число наблюдений на градации: 4/4
30 Наим_градации: 5/5-{91.4000000, 92.6000000}, размер интервала= 1.2000000, расч./факт.число наблюдений на градации: 4/4

ОПИСАТЕЛЬНАЯ ШКАЛА: код: [7], назв.: "45-49 АКТИВНОЕ", набл_на шкалу (всего): 18, тип/число градаций в шкале: "Равное число событий в интервалах"/5
31 Наим_градации: 1/5-{87.0000000, 87.7000000}, размер интервала= 0.7000000, расч./факт.число наблюдений на градации: 3/3
32 Наим_градации: 2/5-{87.7000000, 88.3000000}, размер интервала= 0.6000000, расч./факт.число наблюдений на градации: 3/3
33 Наим_градации: 3/5-{88.3000000, 89.3000000}, размер интервала= 1.0000000, расч./факт.число наблюдений на градации: 4/4

Рисунок 8 – Параметры шкал и градаций с адаптивными границами (фрагмент)

Тем самым создаются все необходимые и достаточные предпосылки для выявления силы и направления причинно-следственных связей между значениями факторов и результатами их совместного системного воздействия.

1.3. Синтез и верификация статистических и интеллектуальных моделей

Затем запускаем режим 3.5, в котором задаются модели для синтеза и верификации, а также задается модель, которой по окончании режима присваивается статус текущей (рисунок 9).

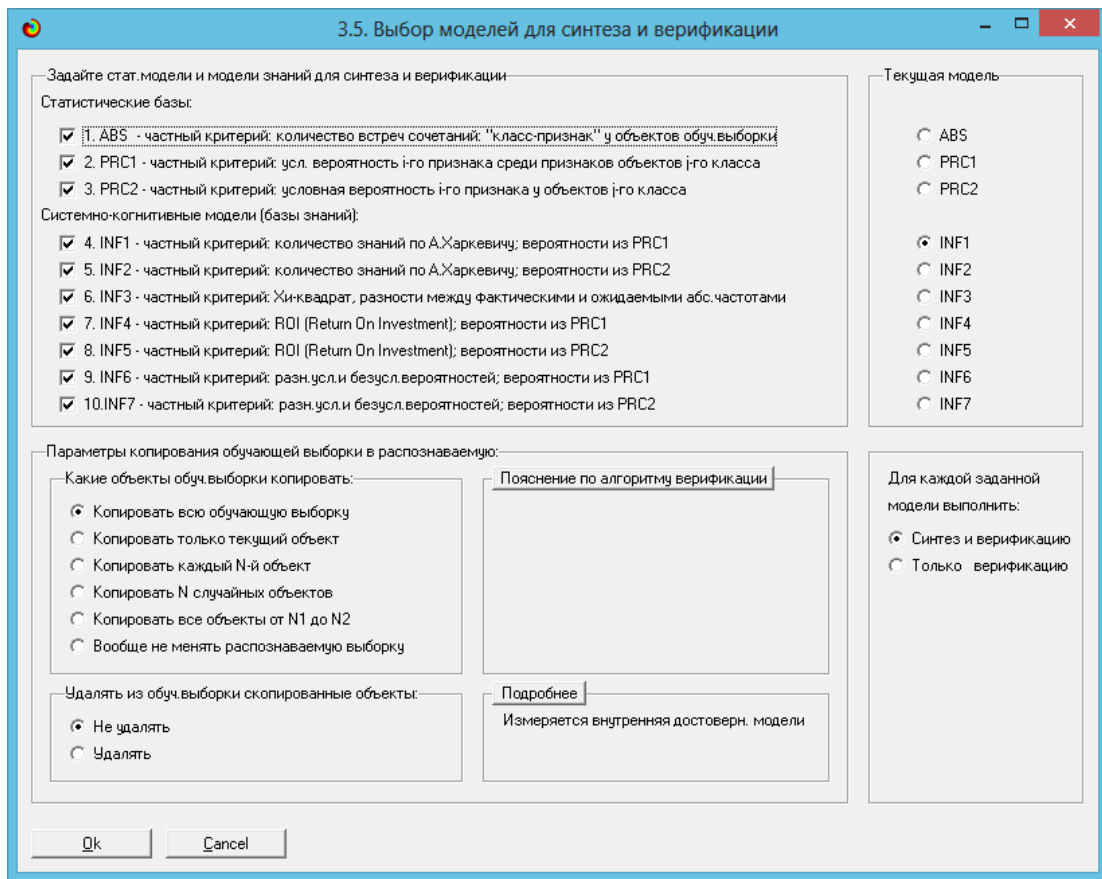


Рисунок 9 – Выбор модели для синтеза и верификации, а также текущей модели

В режим «Эйдос» 3.5 имеет много различных методов верификации моделей, в том числе и поддерживающие бутстрепный метод. В данной ситуации используются параметры по умолчанию, приведенные на рисунке 8. Стадия процесса исполнения режима 3.5 и прогноз времени его окончания отображаются на экранной форме, приведенной на рисунке 10.

получаем о принадлежности идентифицируемого объекта к каждому из классов, если знаем, что у этого объекта есть некоторый признак.

По сути, частные критерии представляют собой просто формулы для преобразования матрицы абсолютных частот (таблица 2) в матрицы условных и безусловных процентных распределений, и матрицы знаний (таблицы 3 и 4).

Таблица 1 – Матрица абсолютных частот (модель ABS) и условных и безусловных процентных распределений (фрагмент)

| 5.5. Модель: "1. ABS - частный критерий: количество встреч сочетаний: "Класс-признак" у объектов обуч.выборки" | | | | | | | | | | | | |
|--|---|--|--|--|--|--|--|--|--|--|---|-----|
| Код признака | Наименование описательной шкалы и градации | 1. ВСЕГО АКТИВНОЕ 1/5 (58 3000000, 59 2000000) | 2. ВСЕГО АКТИВНОЕ 2/5 (59 2000000, 60 8000000) | 3. ВСЕГО АКТИВНОЕ 3/5 (60 8000000, 65 2000000) | 4. ВСЕГО АКТИВНОЕ 4/5 (65 2000000, 70 4000000) | 5. ВСЕГО АКТИВНОЕ 5/5 (70 4000000, 72 1000000) | 6. ВСЕГО НЕАКТИВНОЕ 1/5 (27 9000000, 29 5000000) | 7. ВСЕГО НЕАКТИВНОЕ 2/5 (29 5000000, 29 5000000) | 8. ВСЕГО НЕАКТИВНОЕ 3/5 (29 9000000, 35 2000000) | 9. ВСЕГО НЕАКТИВНОЕ 4/5 (35 2000000, 39 6000000) | 10. ВСЕГО НЕАКТИВНОЕ 5/5 (39 6000000, 41 7000000) | Сум |
| 1 | ДО 20 АКТИВНОЕ-1/5-(12.000000, 13.200000) ... | 2 | 1 | | | | | | | 1 | 2 | |
| 2 | ДО 20 АКТИВНОЕ-2/5-(13.200000, 14.800000) ... | | 2 | 1 | | | | | 1 | 1 | 1 | |
| 3 | ДО 20 АКТИВНОЕ-3/5-(14.800000, 16.500000) ... | | | 3 | 1 | | | | 3 | 1 | | |
| 4 | ДО 20 АКТИВНОЕ-4/5-(16.500000, 18.200000) ... | | | | 1 | 3 | 3 | 1 | | | | |
| 5 | ДО 20 АКТИВНОЕ-5/5-(18.200000, 25.200000) ... | 1 | | 1 | 1 | 1 | 1 | 1 | 1 | | 1 | |
| 6 | 20-24 АКТИВНОЕ-1/5-(57.200000, 61.900000) ... | 1 | 2 | | | | | | | | 2 | 1 |
| 7 | 20-24 АКТИВНОЕ-2/5-(61.900000, 64.600000) ... | 1 | 1 | | 1 | | | | | 1 | | 2 |
| 8 | 20-24 АКТИВНОЕ-3/5-(64.600000, 68.000000) ... | | | 3 | 1 | | | 1 | 2 | 1 | | |
| 9 | 20-24 АКТИВНОЕ-4/5-(68.000000, 72.400000) ... | 1 | | 1 | | 2 | 2 | | 1 | | 1 | |
| 10 | 20-24 АКТИВНОЕ-5/5-(72.400000, 82.800000) ... | | | 1 | 1 | 2 | 2 | 1 | | | | |
| 11 | 25-29 АКТИВНОЕ-1/5-(79.600000, 81.200000) ... | 3 | | | | | | | | | | 3 |
| 12 | 25-29 АКТИВНОЕ-2/5-(81.200000, 82.500000) ... | | 3 | | | | | | | 2 | 1 | |
| 13 | 25-29 АКТИВНОЕ-3/5-(82.500000, 87.500000) ... | | | 4 | | | | 3 | 1 | | | |
| 14 | 25-29 АКТИВНОЕ-4/5-(87.500000, 92.300000) ... | | | 1 | 1 | 2 | 2 | 2 | | | | |
| 15 | 25-29 АКТИВНОЕ-5/5-(92.300000, 93.300000) ... | | | | 2 | 2 | 2 | 2 | | | | |
| 16 | 30-34 АКТИВНОЕ-1/5-(82.100000, 84.600000) ... | 2 | 1 | | | | | | | 1 | 2 | |
| 17 | 30-34 АКТИВНОЕ-2/5-(84.600000, 85.800000) ... | 1 | 2 | | | | | | | 1 | 2 | |
| 18 | 30-34 АКТИВНОЕ-3/5-(85.800000, 89.000000) ... | | | 4 | | | | 3 | 1 | | | |
| 19 | 30-34 АКТИВНОЕ-4/5-(89.000000, 93.100000) ... | | | 1 | 2 | 2 | 2 | 1 | 2 | | | |
| 20 | 30-34 АКТИВНОЕ-5/5-(93.100000, 93.700000) ... | | | | 1 | 2 | 2 | 1 | | | | |
| 21 | 35-39 АКТИВНОЕ-1/5-(87.800000, 88.200000) ... | 2 | 1 | | | | | | | 1 | 2 | |

Таблица 2 – Матрица информативностей (модель INF1) в битах (фрагмент)

| 5.5. Модель: "4. INF1 - частный критерий: количество знаний по АХаркевичу; вероятности из PRC1" | | | | | | | | | | | |
|---|---|--|--|--|--|--|--|---|-------|---------|---|
| Код признака | Наименование описательной шкалы и градации | 4. ВСЕГО АКТИВНОЕ 4/5 (65 2000000, 70 4000000) | 5. ВСЕГО АКТИВНОЕ 5/5 (70 4000000, 72 1000000) | 6. ВСЕГО НЕАКТИВНОЕ 1/5 (27 9000000, 29 5000000) | 7. ВСЕГО НЕАКТИВНОЕ 2/5 (29 5000000, 29 9000000) | 8. ВСЕГО НЕАКТИВНОЕ 3/5 (29 9000000, 35 2000000) | 9. ВСЕГО НЕАКТИВНОЕ 4/5 (35 2000000, 39 6000000) | 10. ВСЕГО НЕАКТИВНОЕ 5/5 (39 6000000, 41 7000000) | Сумма | Среднее | С |
| 1 | ДО 20 АКТИВНОЕ-1/5-(12.000000, 13.200000) ... | | | | | | 0.345 | 0.547 | 1.927 | 0.193 | |
| 2 | ДО 20 АКТИВНОЕ-2/5-(13.200000, 14.800000) ... | 91 | | | | 0.091 | 0.345 | 0.202 | 1.418 | 0.142 | |
| 3 | ДО 20 АКТИВНОЕ-3/5-(14.800000, 16.500000) ... | 94 | 0.202 | | | 0.494 | 0.202 | | 1.392 | 0.139 | |
| 4 | ДО 20 АКТИВНОЕ-4/5-(16.500000, 18.200000) ... | | 0.202 | 0.605 | 0.605 | 0.404 | | | 1.816 | 0.182 | |
| 5 | ДО 20 АКТИВНОЕ-5/5-(18.200000, 25.200000) ... | 52 | 0.202 | 0.059 | 0.059 | 0.404 | -0.052 | | 0.878 | 0.088 | |
| 6 | 20-24 АКТИВНОЕ-1/5-(57.200000, 61.900000) ... | | | | | | 0.690 | 0.202 | 1.927 | 0.193 | |
| 7 | 20-24 АКТИВНОЕ-2/5-(61.900000, 64.600000) ... | | 0.345 | | | 0.091 | | 0.547 | 1.672 | 0.167 | |
| 8 | 20-24 АКТИВНОЕ-3/5-(64.600000, 68.000000) ... | 94 | 0.202 | | | 0.404 | 0.293 | 0.202 | 1.594 | 0.159 | |
| 9 | 20-24 АКТИВНОЕ-4/5-(68.000000, 72.400000) ... | 52 | | 0.404 | 0.404 | | -0.052 | 0.059 | 0.963 | 0.096 | |
| 10 | 20-24 АКТИВНОЕ-5/5-(72.400000, 82.800000) ... | 52 | 0.202 | 0.404 | 0.404 | 0.404 | -0.052 | | 1.308 | 0.131 | |
| 11 | 25-29 АКТИВНОЕ-1/5-(79.600000, 81.200000) ... | | | | | | | 0.749 | 1.640 | 0.164 | |
| 12 | 25-29 АКТИВНОЕ-2/5-(81.200000, 82.500000) ... | | | | | | 0.690 | 0.202 | 1.784 | 0.178 | |
| 13 | 25-29 АКТИВНОЕ-3/5-(82.500000, 87.500000) ... | 38 | | | | 0.494 | 0.202 | | 1.334 | 0.133 | |
| 14 | 25-29 АКТИВНОЕ-4/5-(87.500000, 92.300000) ... | 52 | 0.202 | 0.404 | 0.404 | 0.293 | | | 1.249 | 0.125 | |
| 15 | 25-29 АКТИВНОЕ-5/5-(92.300000, 93.300000) ... | | 0.547 | 0.404 | 0.404 | 0.749 | | | 2.103 | 0.210 | |
| 16 | 30-34 АКТИВНОЕ-1/5-(82.100000, 84.600000) ... | | | | | | 0.345 | 0.547 | 1.927 | 0.193 | |
| 17 | 30-34 АКТИВНОЕ-2/5-(84.600000, 85.800000) ... | | | | | | 0.345 | 0.547 | 1.927 | 0.193 | |
| 18 | 30-34 АКТИВНОЕ-3/5-(85.800000, 89.000000) ... | 38 | | | | 0.494 | 0.202 | | 1.334 | 0.133 | |
| 19 | 30-34 АКТИВНОЕ-4/5-(89.000000, 93.100000) ... | 63 | 0.436 | 0.293 | 0.293 | 0.293 | 0.181 | | 1.331 | 0.133 | |
| 20 | 30-34 АКТИВНОЕ-5/5-(93.100000, 93.700000) ... | | 0.345 | 0.547 | 0.547 | 0.547 | | | 1.985 | 0.199 | |
| 21 | 35-39 АКТИВНОЕ-1/5-(87.800000, 88.200000) ... | | | | | | 0.345 | 0.547 | 1.927 | 0.193 | |

Таблица 3 – Матрица знаний (модель INF3) (фрагмент)

5.5. Модель: "6. INF3 - частный критерий: Хи-квадрат, разности между фактическими и ожидаемыми абс.частотами"

| Код признака | Наименование описательной шкалы и градации | 4. ВСЕГО АКТИВНОЕ 4/5 (65.2000000, 70.4000000) | 5. ВСЕГО АКТИВНОЕ 5/5 (70.4000000, 72.1000000) | 6. ВСЕГО НЕАКТИВНОЕ 1/5 (27.9000000, 29.5000000) | 7. ВСЕГО НЕАКТИВНОЕ 2/5 (29.5000000, 29.9000000) | 8. ВСЕГО НЕАКТИВНОЕ 3/5 (29.9000000, 35.2000000) | 9. ВСЕГО НЕАКТИВНОЕ 4/5 (35.2000000, 39.6000000) | 10. ВСЕГО НЕАКТИВНОЕ 5/5 (39.6000000, 41.7000000) | Сумма | Среднее | Средн. квадр. откл. |
|--------------|---|--|--|--|--|--|--|---|--------|---------|---------------------|
| 1 | ДО 20 АКТИВНОЕ-1/5-(12.0000000, 13.2000000) ... | 33 | -0.500 | -0.667 | -0.667 | -0.333 | -0.833 | 0.500 | 1.333 | | 0.892 |
| 2 | ДО 20 АКТИВНОЕ-2/5-(13.2000000, 14.8000000) ... | 67 | -0.500 | -0.667 | -0.667 | -0.333 | 0.167 | 0.500 | 0.333 | | 0.680 |
| 3 | ДО 20 АКТИВНОЕ-3/5-(14.8000000, 16.5000000) ... | 89 | 0.333 | -0.889 | -0.889 | -0.444 | 1.889 | 0.333 | -0.889 | | 1.096 |
| 4 | ДО 20 АКТИВНОЕ-4/5-(16.5000000, 18.2000000) ... | 11 | 0.333 | 2.111 | 2.111 | 0.556 | -1.111 | -0.667 | -0.889 | | 1.244 |
| 5 | ДО 20 АКТИВНОЕ-5/5-(18.2000000, 20.0000000) ... | 11 | 0.333 | 0.111 | 0.111 | 0.556 | -0.111 | -0.667 | 0.111 | | 0.406 |
| 6 | 20-24 АКТИВНОЕ-1/5-(17.2000000, 18.0000000) ... | 33 | -0.500 | -0.667 | -0.667 | -0.333 | -0.833 | 1.500 | 0.333 | | 0.913 |
| 7 | 20-24 АКТИВНОЕ-2/5-(16.1.9000000, 16.6000000) ... | 33 | 0.500 | -0.667 | -0.667 | -0.333 | 0.167 | -0.500 | 1.333 | | 0.707 |
| 8 | 20-24 АКТИВНОЕ-3/5-(16.4.6000000, 16.9000000) ... | 89 | 0.333 | -0.889 | -0.889 | 0.556 | 0.889 | 0.333 | -0.889 | | 0.951 |
| 9 | 20-24 АКТИВНОЕ-4/5-(16.8.0000000, 17.4000000) ... | 11 | -0.667 | 1.111 | 1.111 | -0.444 | -0.111 | -0.667 | 0.111 | | 0.679 |
| 10 | 20-24 АКТИВНОЕ-5/5-(17.2.4000000, 18.2.8000000) ... | 11 | 0.333 | 1.111 | 1.111 | 0.556 | -0.111 | -0.667 | -0.889 | | 0.748 |
| 11 | 25-29 АКТИВНОЕ-1/5-(17.9.6000000, 18.2.0000000) ... | 33 | -0.500 | -0.667 | -0.667 | -0.333 | -0.833 | -0.500 | 2.333 | | 1.284 |
| 12 | 25-29 АКТИВНОЕ-2/5-(18.1.2000000, 18.2.5000000) ... | 33 | -0.500 | -0.667 | -0.667 | -0.333 | -0.833 | 1.500 | 0.333 | | 1.130 |
| 13 | 25-29 АКТИВНОЕ-3/5-(18.2.5000000, 18.7.5000000) ... | 89 | -0.667 | -0.889 | -0.889 | -0.444 | 1.889 | 0.333 | -0.889 | | 1.330 |
| 14 | 25-29 АКТИВНОЕ-4/5-(18.7.5000000, 19.2.3000000) ... | 11 | 0.333 | 1.111 | 1.111 | -0.444 | 0.889 | -0.667 | -0.889 | | 0.796 |
| 15 | 25-29 АКТИВНОЕ-5/5-(19.2.3000000, 19.3.3000000) ... | 11 | 1.333 | 1.111 | 1.111 | 1.556 | -1.111 | -0.667 | -0.889 | | 1.118 |
| 16 | 30-34 АКТИВНОЕ-1/5-(18.2.1000000, 18.4.6000000) ... | 33 | -0.500 | -0.667 | -0.667 | -0.333 | -0.833 | 0.500 | 1.333 | | 0.892 |
| 17 | 30-34 АКТИВНОЕ-2/5-(18.4.6000000, 18.5.8000000) ... | 33 | -0.500 | -0.667 | -0.667 | -0.333 | -0.833 | 0.500 | 1.333 | | 0.892 |
| 18 | 30-34 АКТИВНОЕ-3/5-(18.5.8000000, 18.9.0000000) ... | 89 | -0.667 | -0.889 | -0.889 | -0.444 | 1.889 | 0.333 | -0.889 | | 1.330 |
| 19 | 30-34 АКТИВНОЕ-4/5-(18.9.0000000, 19.1.0000000) ... | 89 | 1.167 | 0.889 | 0.889 | 0.444 | 0.611 | -0.833 | -1.111 | | 0.881 |
| 20 | 30-34 АКТИВНОЕ-5/5-(19.1.0000000, 19.3.7000000) ... | 33 | 0.500 | 1.333 | 1.333 | 0.667 | -0.833 | -0.500 | -0.667 | | 0.871 |
| 21 | 35-39 АКТИВНОЕ-1/5-(18.7.8000000, 18.2.0000000) ... | 33 | -0.500 | -0.667 | -0.667 | -0.333 | -0.833 | 0.500 | 1.333 | | 0.892 |

1.5. Результаты верификации моделей

Результаты верификации (оценки достоверности) моделей, отличающихся частными критериями с двумя приведенными выше интегральными критериями, приведены на рисунке 11.

4.13.6. Обобщ.форма по достов.моделей при разн.крит. Текущая модель: "INF1"

| Наименование модели и частного критерия | Интегральный критерий | Всего логических объектов выборки | Число истинно-положительных решений (TP) | Число истинно-отрицательных решений (TN) | Число ложн. положительных решений (FP) | Число ложн. отрицательных решений (FN) | Точность модели | Полнота модели | Фигера Ван Рысбергера | Сумма мод. уровней со- истинно-поло- решений (ST) | Сумма мод. уровней со- истинно-отри- решений (ST) | Сумма мод. уровней со- ложно-поло- решений (SFP) | Сумма мод. уровней со- ложно-отриц- решений (SF) |
|--|------------------------------------|-----------------------------------|--|--|--|--|-----------------|----------------|-----------------------|---|---|--|--|
| 1. ABS - частный критерий: количество встреч сонетаний "клас... | Корреляция абс. частот с обр... | 36 | 36 | 114 | 30 | | 0.545 | 1.000 | 0.706 | 29.028 | 35.061 | 8.069 | |
| 2. PRC1 - частный критерий: усл. вероятность н-го признака сред... | Сумма абс. частот по призна... | 36 | 36 | 22 | 122 | | 0.228 | 1.000 | 0.371 | 27.483 | | 23.000 | |
| 3. PRC2 - частный критерий: усл. вероятность н-го признака сред... | Корреляция усл. отн. частот с о... | 36 | 36 | 114 | 30 | | 0.545 | 1.000 | 0.706 | 29.028 | 35.061 | 8.069 | |
| 4. INF1 - частный критерий: количество знаний по АХаркевичу. в... | Сумма усл.отн. частот по при... | 36 | 36 | 22 | 122 | | 0.228 | 1.000 | 0.371 | 26.791 | 34.647 | 6.996 | |
| 5. INF2 - частный критерий: количество знаний по АХаркевичу. в... | Семантический резонанс зна... | 36 | 36 | 22 | 122 | | 0.228 | 1.000 | 0.371 | 26.504 | | 20.515 | |
| 6. INF3 - частный критерий: количество знаний по АХаркевичу. в... | Семантический резонанс зна... | 36 | 36 | 116 | 28 | | 0.563 | 1.000 | 0.720 | 28.761 | 36.747 | 7.821 | |
| 7. INF4 - частный критерий: ROI (Return On Investment), веро... | Семантический резонанс зна... | 36 | 36 | 118 | 26 | | 0.581 | 1.000 | 0.735 | 25.912 | 32.195 | 5.319 | |
| 8. INF5 - частный критерий: ROI (Return On Investment), веро... | Семантический резонанс зна... | 36 | 36 | 22 | 122 | | 0.228 | 1.000 | 0.371 | 23.418 | | 15.564 | |
| 9. INF6 - частный критерий: ROI (Return On Investment), веро... | Семантический резонанс зна... | 36 | 36 | 119 | 26 | | 0.581 | 1.000 | 0.735 | 25.912 | 32.195 | 5.319 | |
| 10. INF7 - частный критерий: разн.усли без усл. вероятностей, ве... | Семантический резонанс зна... | 36 | 36 | 22 | 122 | | 0.228 | 1.000 | 0.371 | 23.418 | | 15.564 | |
| 11. INF8 - частный критерий: разн.усли без усл. вероятностей, вер... | Семантический резонанс зна... | 36 | 36 | 120 | 24 | | 0.600 | 1.000 | 0.750 | 26.414 | 31.600 | 5.695 | |
| 12. INF9 - частный критерий: разн.усли без усл. вероятностей, вер... | Семантический резонанс зна... | 36 | 36 | 23 | 121 | | 0.229 | 1.000 | 0.373 | 24.647 | | 16.625 | |
| 13. INF10 - частный критерий: разн.усли без усл. вероятностей, ве... | Семантический резонанс зна... | 36 | 36 | 120 | 24 | | 0.600 | 1.000 | 0.750 | 26.414 | 31.600 | 5.695 | |
| 14. INF11 - частный критерий: разн.усли без усл. вероятностей, ве... | Семантический резонанс зна... | 36 | 36 | 23 | 121 | | 0.229 | 1.000 | 0.373 | 24.647 | | 16.625 | |

а)

| Наименование модели и частного критерия | Интегральный критерий | дуть ас. щат. | Средний модуль уровней сход. разноположит. решений | Средний модуль уровней сход. разноотрицат. решений | A-Точность модели A-Precision = ATR/ATR | A-Полнота модели A-Precision = ATR/ATR | L2-мера проф. Е.В.Луценко | Процент правильной идентификац... | Процент правильной не иденти... | Процент ошибочной идентиц... | Процент ошибочной не иденти... | Процент правильных результатов | Дата получения результата | Время получения результ... |
|---|------------------------------------|---------------|--|--|---|--|---------------------------|-----------------------------------|---------------------------------|------------------------------|--------------------------------|--------------------------------|---------------------------|----------------------------|
| 1.ABS - частный критерий: количество встреч сонетаний "Клас... | Корреляция абс. частот с обр... | | 0,269 | 0,308 | 0,750 | 1,000 | 0,857 | 100,000 | 81,921 | 18,079 | | 90,960 | 22.11.2017 | 08:43:03 |
| 1.ABS - частный критерий: количество встреч сонетаний "Клас... | Сумма абс. частот по признак... | | 0,189 | 0,802 | 1,000 | 1,000 | 0,890 | 100,000 | 14,425 | 85,575 | | 57,212 | 22.11.2017 | 08:43:03 |
| 2.PRC1 - частный критерий: усл. вероятность н-го признака сред... | Корреляция усл.отн. частот с о... | | 0,269 | 0,308 | 0,750 | 1,000 | 0,857 | 100,000 | 81,921 | 18,079 | | 90,960 | 22.11.2017 | 08:43:07 |
| 2.PRC1 - частный критерий: усл. вероятность н-го признака сред... | Сумма усл.отн. частот по призна... | | 0,210 | 0,789 | 1,000 | 1,000 | 0,882 | 100,000 | 14,425 | 85,575 | | 57,212 | 22.11.2017 | 08:43:06 |
| 3.PRC2 - частный критерий: условная вероятность н-го признака... | Корреляция усл.отн. частот с о... | | 0,269 | 0,308 | 0,750 | 1,000 | 0,857 | 100,000 | 81,921 | 18,079 | | 90,960 | 22.11.2017 | 08:43:10 |
| 3.PRC2 - частный критерий: условная вероятность н-го признака... | Сумма усл.отн. частот по при... | | 0,210 | 0,789 | 1,000 | 1,000 | 0,882 | 100,000 | 14,425 | 85,575 | | 57,212 | 22.11.2017 | 08:43:10 |
| 4.INF1 - частный критерий: количество знаний по А\Харкевичу, в... | Семантический резонанс зна... | | 0,259 | 0,296 | 0,742 | 1,000 | 0,852 | 100,000 | 83,379 | 16,621 | | 91,690 | 22.11.2017 | 08:43:13 |
| 4.INF1 - частный критерий: количество знаний по А\Харкевичу, в... | Сумма знаний | | 0,168 | 0,814 | 1,000 | 1,000 | 0,898 | 100,000 | 14,425 | 85,575 | | 57,212 | 22.11.2017 | 08:43:14 |
| 5.INF2 - частный критерий: количество знаний по А\Харкевичу, в... | Семантический резонанс зна... | | 0,259 | 0,296 | 0,742 | 1,000 | 0,852 | 100,000 | 83,379 | 16,621 | | 91,690 | 22.11.2017 | 08:43:17 |
| 5.INF2 - частный критерий: количество знаний по А\Харкевичу, в... | Сумма знаний | | 0,168 | 0,814 | 1,000 | 1,000 | 0,898 | 100,000 | 14,425 | 85,575 | | 57,212 | 22.11.2017 | 08:43:18 |
| 6.INF3 - частный критерий: Хи-квадрат, разности между фактич... | Семантический резонанс зна... | | 0,279 | 0,317 | 0,741 | 1,000 | 0,851 | 100,000 | 82,824 | 17,176 | | 91,412 | 22.11.2017 | 08:43:21 |
| 6.INF3 - частный критерий: Хи-квадрат, разности между фактич... | Сумма знаний | | 0,225 | 0,279 | 0,763 | 1,000 | 0,868 | 100,000 | 82,824 | 17,176 | | 91,412 | 22.11.2017 | 08:43:21 |
| 7.INF4 - частный критерий: ROI (Return On Investment) вероятн... | Семантический резонанс зна... | | 0,205 | 0,273 | 0,779 | 1,000 | 0,876 | 100,000 | 83,935 | 16,065 | | 91,967 | 22.11.2017 | 08:43:25 |
| 7.INF4 - частный критерий: ROI (Return On Investment) вероятн... | Сумма знаний | | 0,128 | 0,836 | 1,000 | 1,000 | 0,911 | 100,000 | 14,425 | 85,575 | | 57,212 | 22.11.2017 | 08:43:26 |
| 8.INF5 - частный критерий: ROI (Return On Investment) вероятн... | Семантический резонанс зна... | | 0,205 | 0,273 | 0,779 | 1,000 | 0,876 | 100,000 | 83,935 | 16,065 | | 91,967 | 22.11.2017 | 08:43:29 |
| 8.INF5 - частный критерий: ROI (Return On Investment) вероятн... | Сумма знаний | | 0,128 | 0,836 | 1,000 | 1,000 | 0,911 | 100,000 | 14,425 | 85,575 | | 57,212 | 22.11.2017 | 08:43:30 |
| 9.INF6 - частный критерий: разн.усли безусл. вероятностей, вер... | Семантический резонанс зна... | | 0,237 | 0,263 | 0,756 | 1,000 | 0,861 | 100,000 | 85,046 | 14,954 | | 92,523 | 22.11.2017 | 08:43:33 |
| 9.INF6 - частный критерий: разн.усли безусл. вероятностей, вер... | Сумма знаний | | 0,137 | 0,833 | 1,000 | 1,000 | 0,909 | 100,000 | 15,493 | 84,507 | | 57,746 | 22.11.2017 | 08:43:34 |
| 10.INF7 - частный критерий: разн.усли безусл. вероятностей, ве... | Семантический резонанс зна... | | 0,237 | 0,263 | 0,756 | 1,000 | 0,861 | 100,000 | 85,046 | 14,954 | | 92,523 | 22.11.2017 | 08:43:37 |
| 10.INF7 - частный критерий: разн.усли безусл. вероятностей, ве... | Сумма знаний | | 0,137 | 0,833 | 1,000 | 1,000 | 0,909 | 100,000 | 15,493 | 84,507 | | 57,746 | 22.11.2017 | 08:43:38 |

б)

Рисунок 11 – Оценки достоверности моделей

Наиболее достоверной в данном приложении оказались модели INF4 при интегральном критерии «Сумма знаний». При этом точность модели составляет 0,911, а полнота модели 1. Таким образом, уровень достоверности прогнозирования с применением модели выше, чем экспертных оценок, достоверность которых считается равной примерно 65%. Для оценки достоверности моделей в АСК - анализе и системе «Эйдос» используется L2-критерий профессора Е.В.Луценко, а также его нечеткое мультиклассовое обобщение, предложенное проф. Е.В.Луценко (рисунок 12).

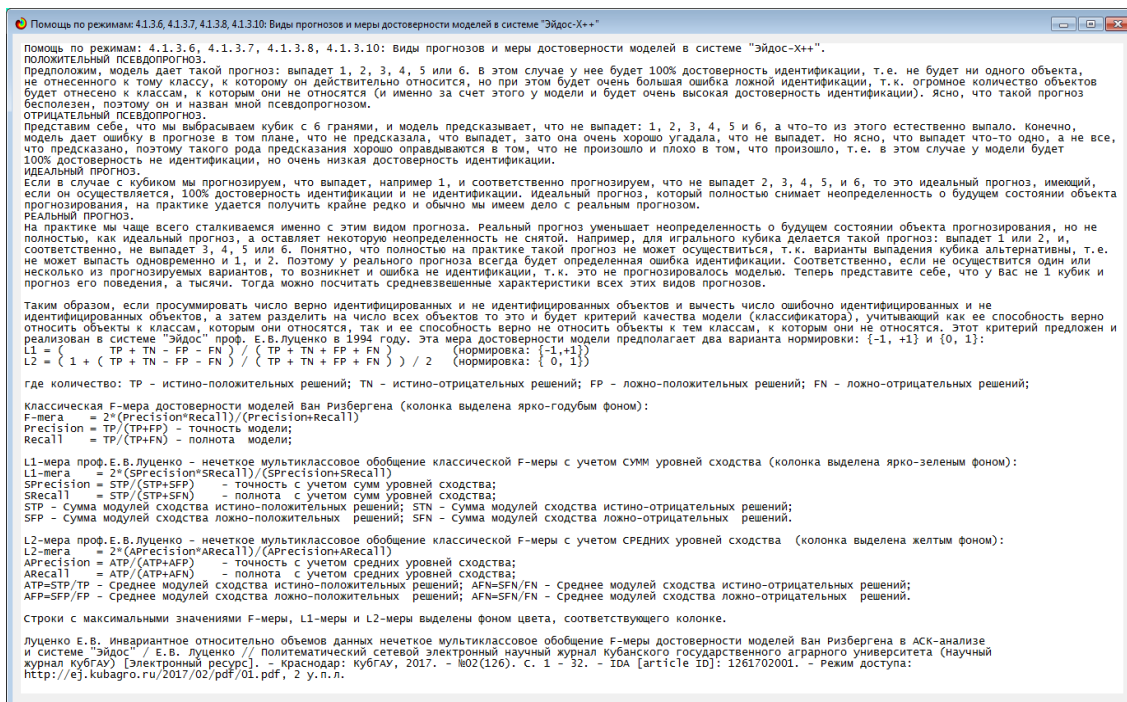


Рисунок 12 - Виды прогнозов и принцип определения достоверности моделей по авторскому варианту метрики, сходной с F-критерием

Также обращает на себя внимание, что статистические модели, как правило, дают значительно более низкую средневзвешенную достоверность идентификации и не идентификации, чем модели знаний, и практически никогда – более высокую. Этим и оправдано применение моделей знаний и интеллектуальных технологий. На рисунке 13 приведены частные распределения уровней сходства и различия для верно и ошибочно идентифицированных и неидентифицированных ситуаций в наиболее достоверной модели INF4.

Из рисунка 13 видно, что:

- на графике можно выделить 3 интервала;
- на интервале 0-28% присутствуют только ошибки сходства;
- на интервале 28-65% представлены ошибочные и достоверные решения, причем на промежутке 28-48% преобладают ложные решения, а на диапазоне 48-65% преобладают верные решения;
- на промежутке 65-100% представлены только достоверные решения.

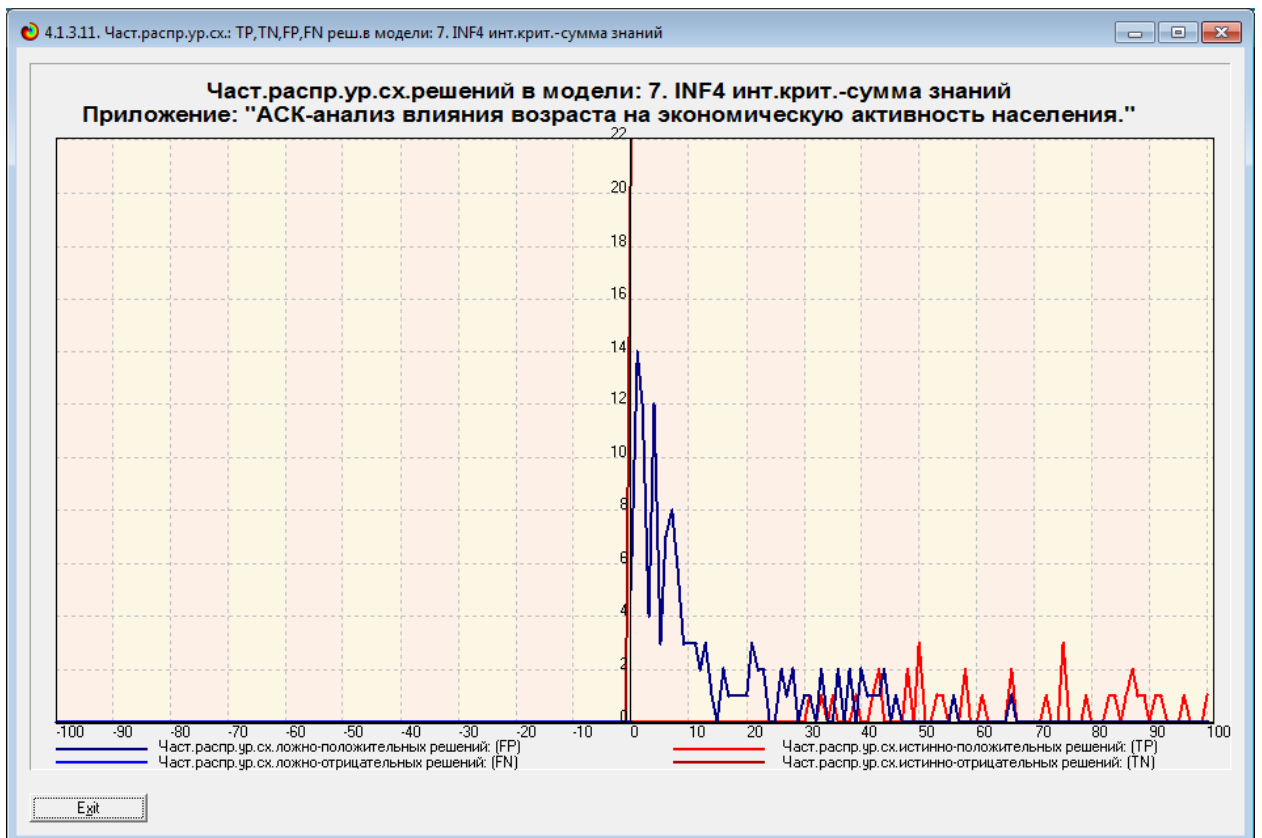


Рисунок 13 – Частное распределение сходства - различий для верно и ошибочно идентифицированных и неидентифицированных вариантов объекта в модели INF4

2. Решение задач в наиболее достоверной модели

2.1. Решение задачи идентификации

В соответствии с методологией АСК – анализа зададим достоверной модели INF4 в режиме 5.6. системы «Эйдос» (рисунок 14) и проведем пакетное распознавание в режиме 4.2.1. (рисунок 16).

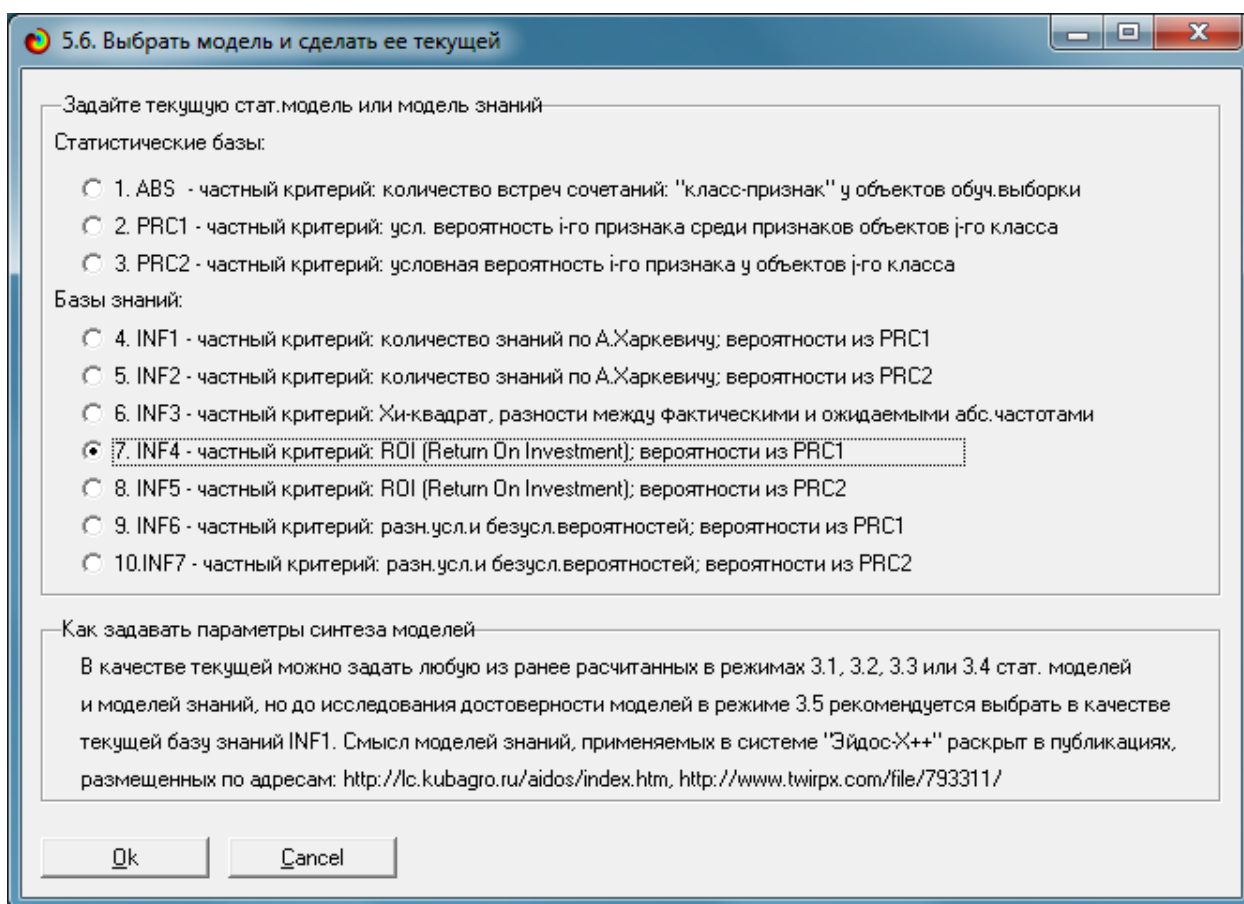


Рисунок 14 – Экранная форма режима 5.6. задания модели в качестве текущей

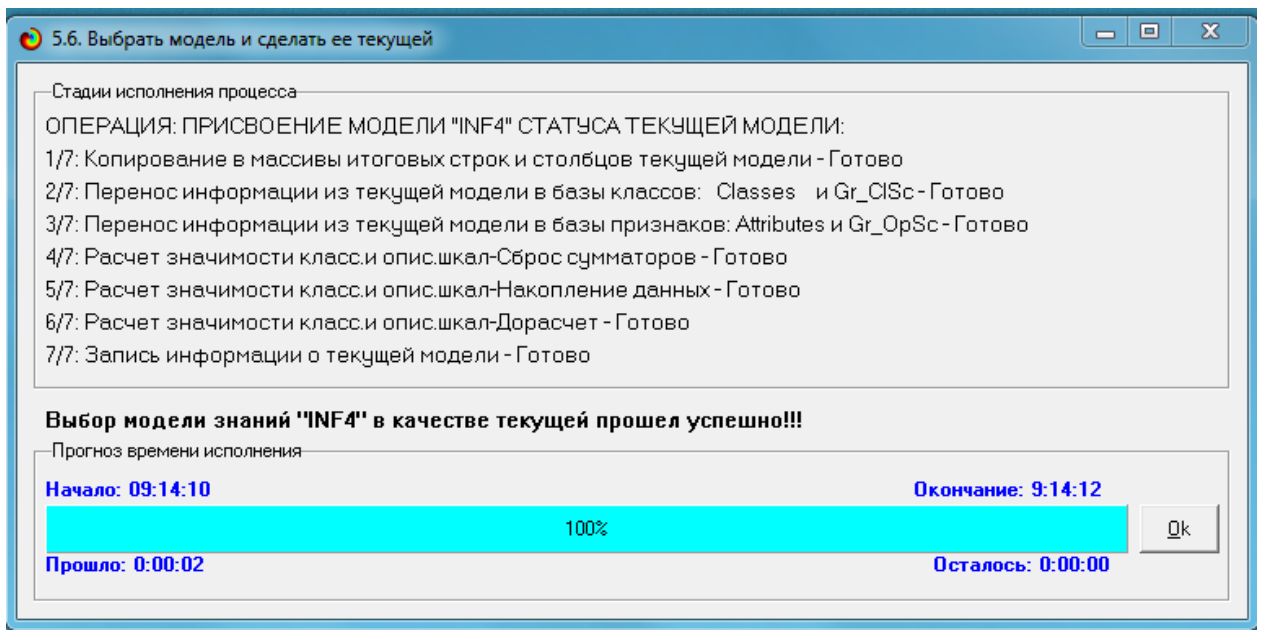


Рисунок 15 – Экранная форма режима 5.6. задания модели в качестве текущей (процесс моделирования)

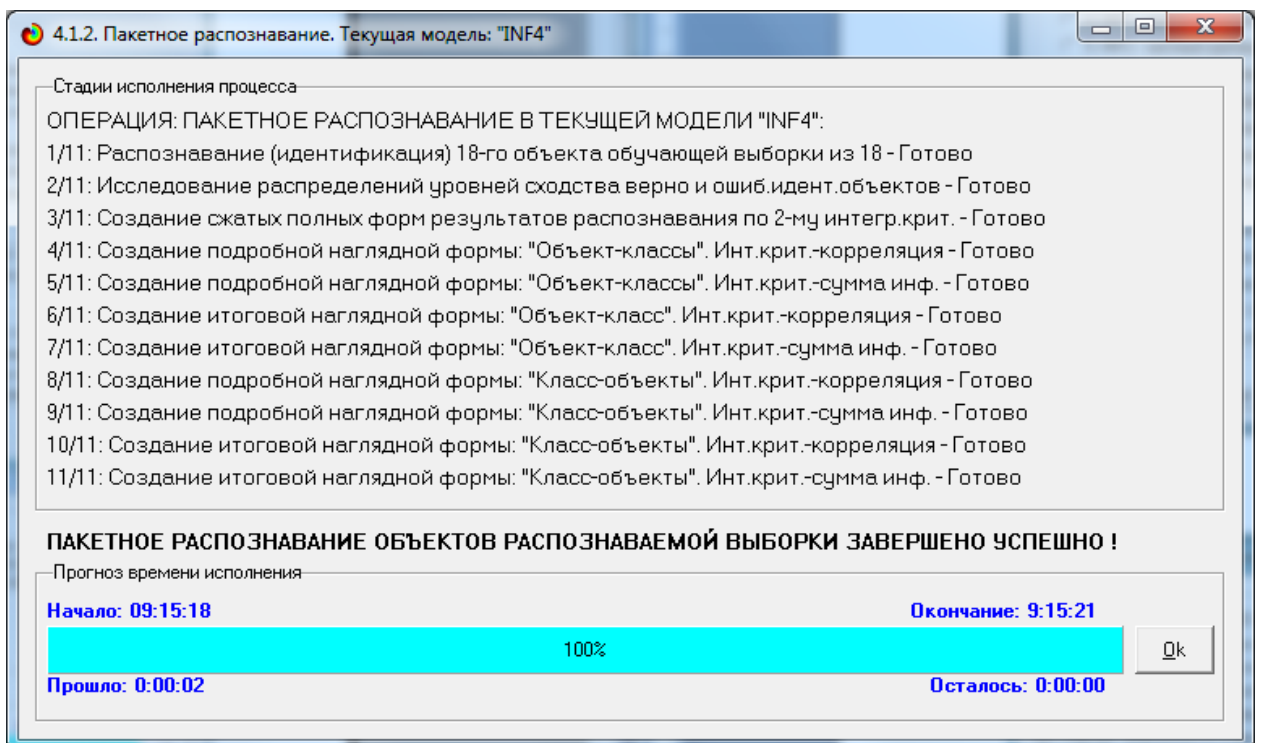


Рисунок 16 – Экранная форма режима пакетного распознавания модели INF4 (режим 4.1.2.)

Результатами пакетного распознавания в текущей модели, в данной работе модели INF4, являются базы данных, которые визуализируются в выходных экранных формах, которые показывают результаты решения задачи идентификации и прогнозирования.

В системе «Эйдос» режим 4.1.3 отображает результаты идентификации и прогнозирования в различных формах. На рисунках 17, 18 представим некоторые из них.

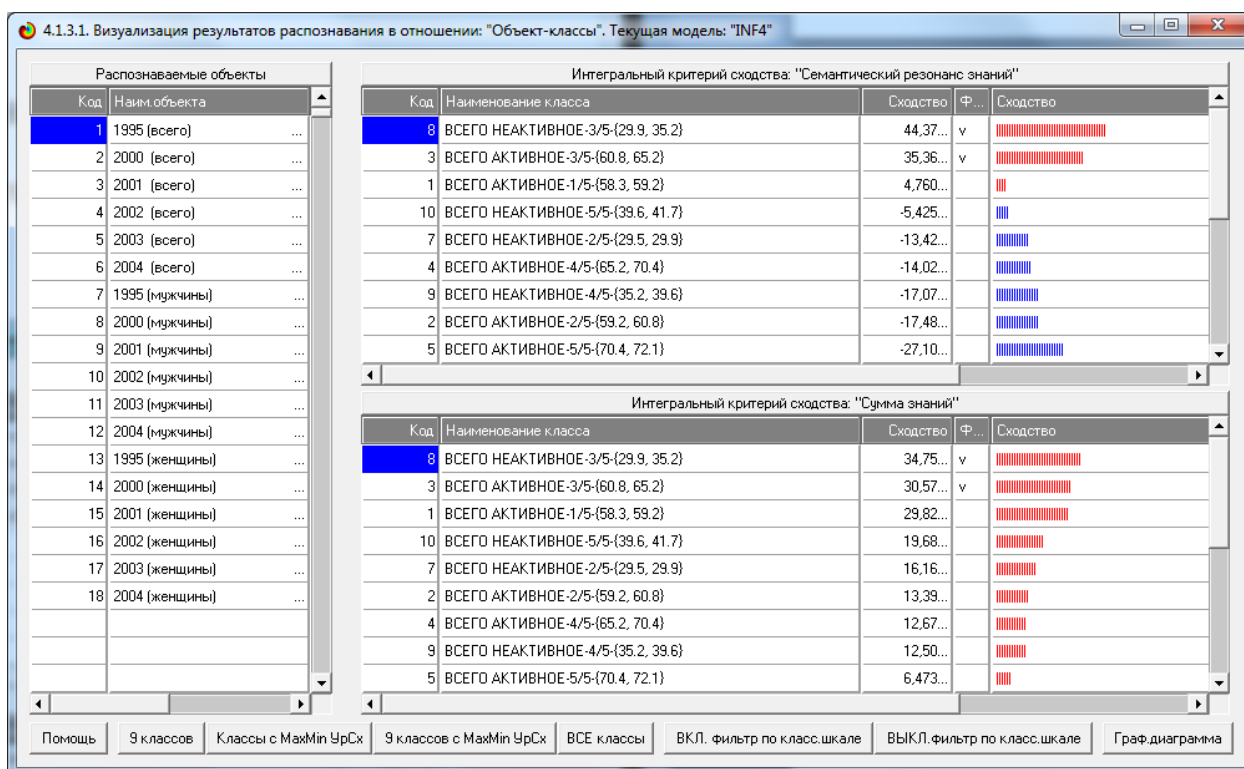


Рисунок 17 – Пример идентификации классов в модели INF4 (режим 4.1.3.1.)

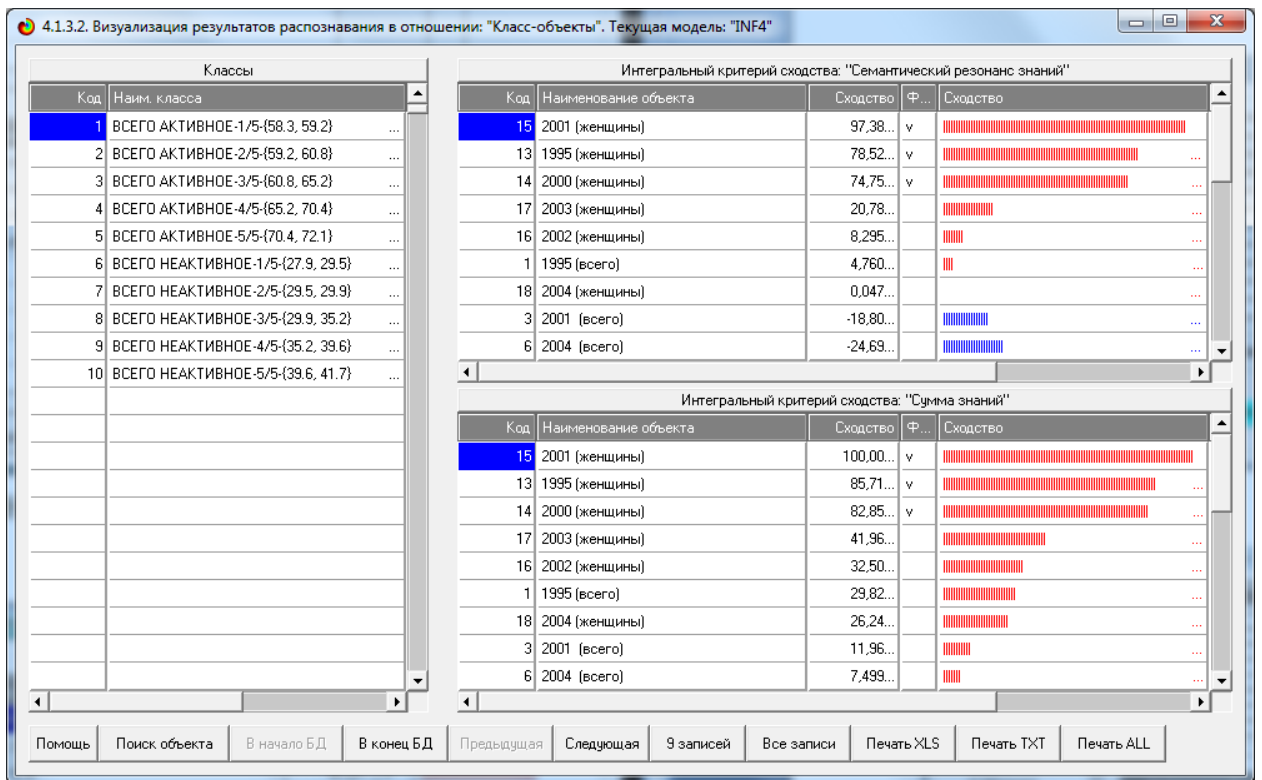


Рисунок 18 – Пример идентификации классов в модели INF4 (режим 4.1.3.2.)

2.2. Когнитивные функции

Рассмотрим режим 4.5, который обеспечивает возможность визуализации когнитивных функций для различных моделей и сочетаний описательных и классификационных шкал.

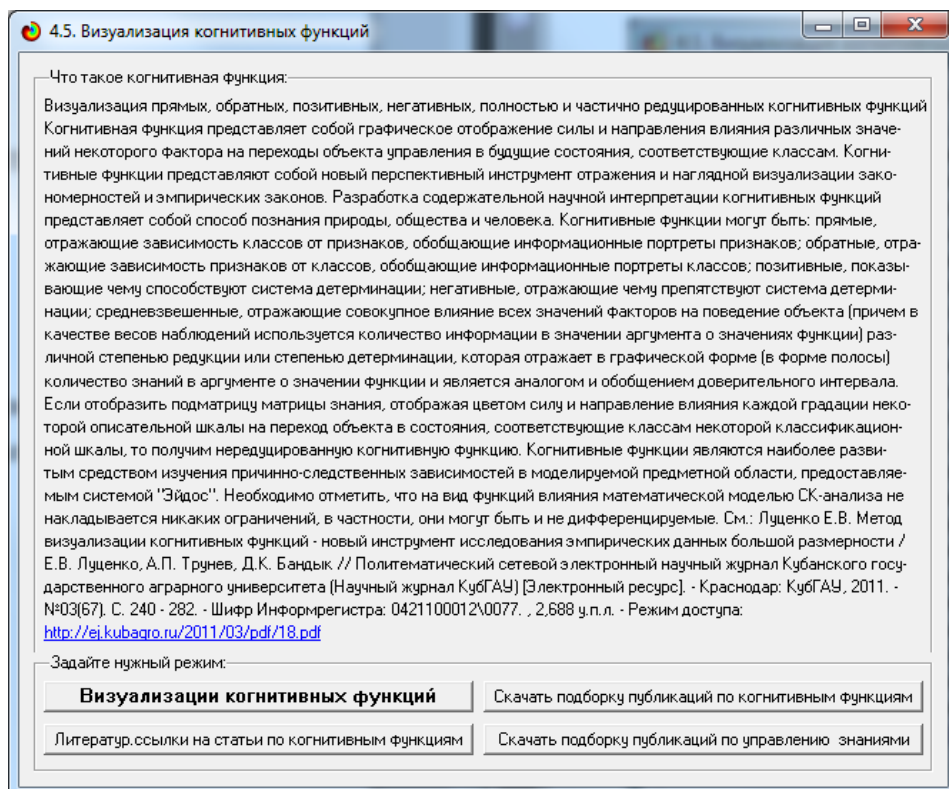


Рисунок 19 – Экранная форма режима 4.5. системы «Эйдос» «Визуализация когнитивных функций»

На рисунках 20 – 27 представлены результаты визуализации когнитивных функций текущей модели INF4.

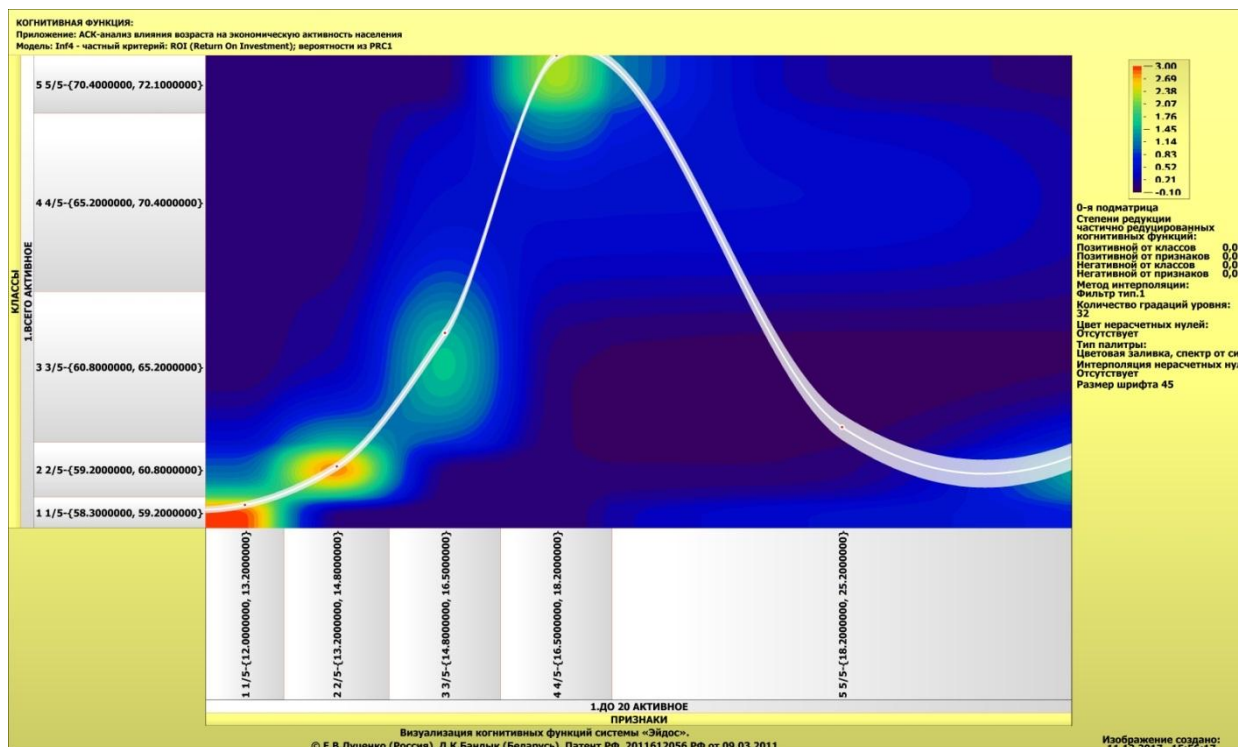


Рисунок 20 – Результат визуализации когнитивных функций модели INF4

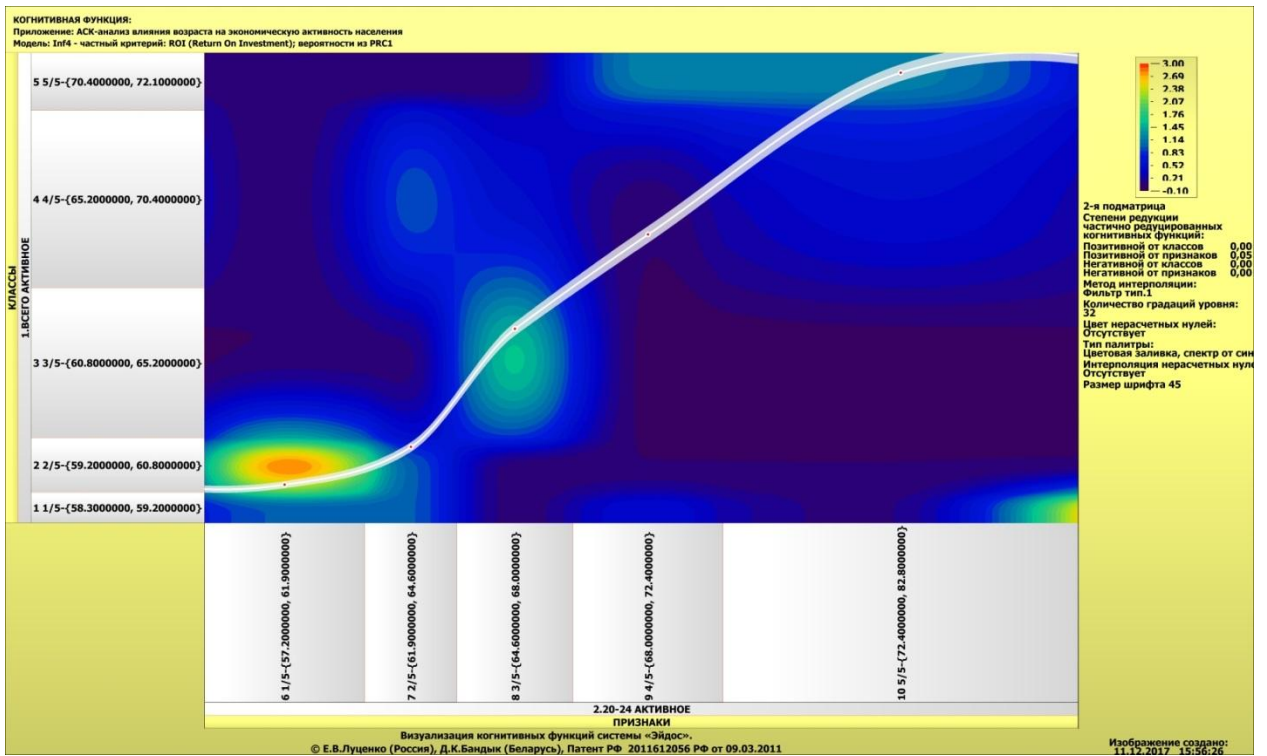


Рисунок 21 – Результат визуализации когнитивных функций модели INF4

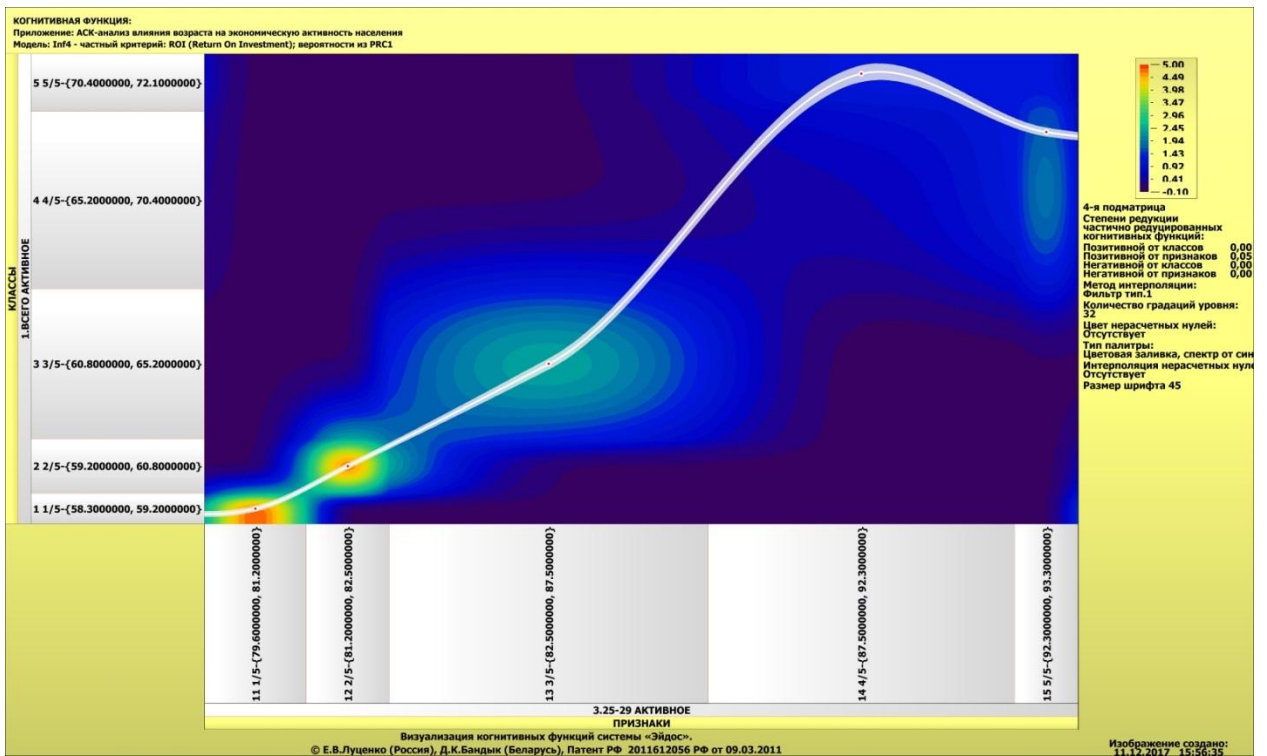


Рисунок 22 – Результат визуализации когнитивных функций модели INF4

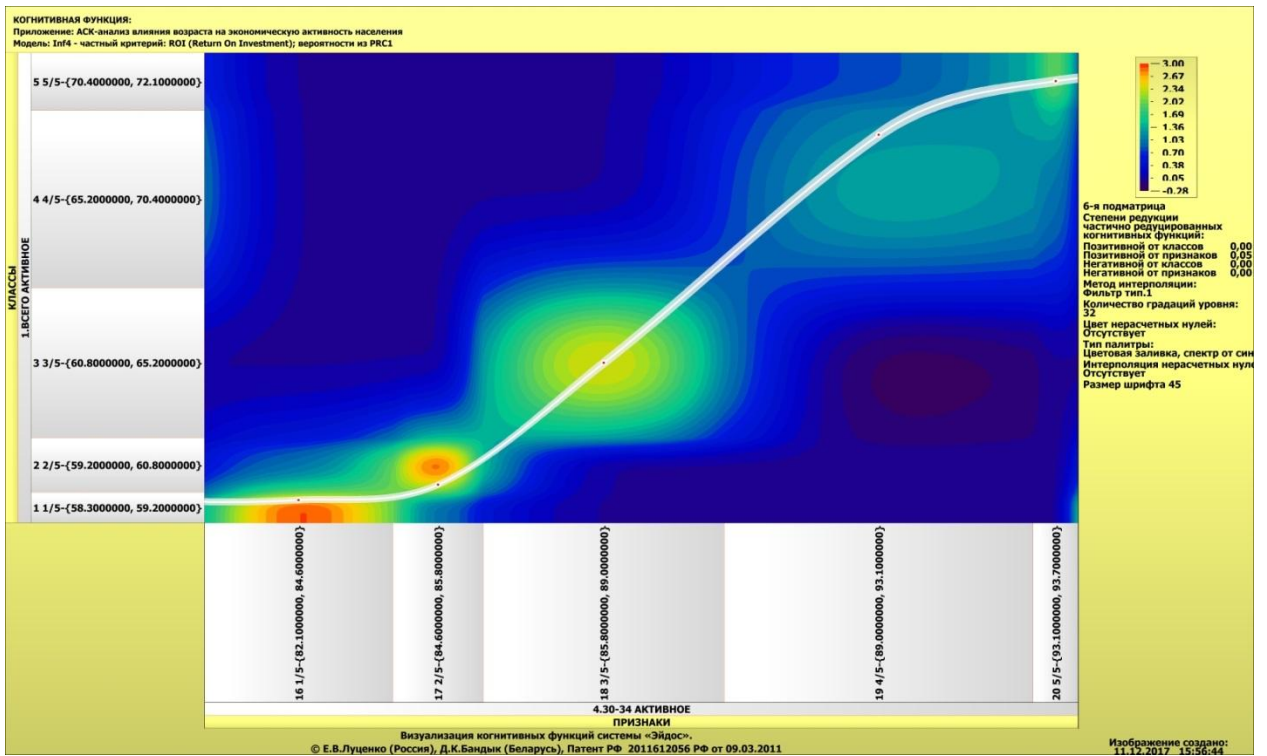


Рисунок 23 – Результат визуализации когнитивных функций модели INF4

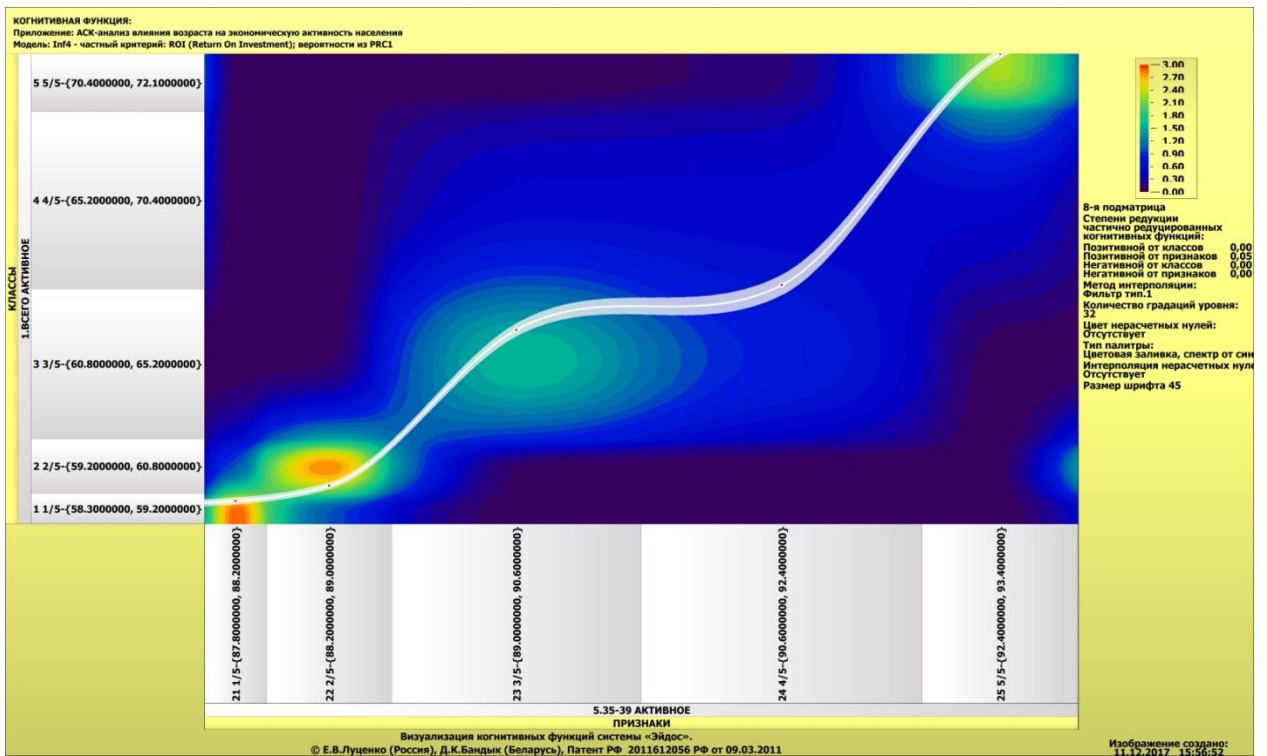


Рисунок 24 – Результат визуализации когнитивных функций модели INF4

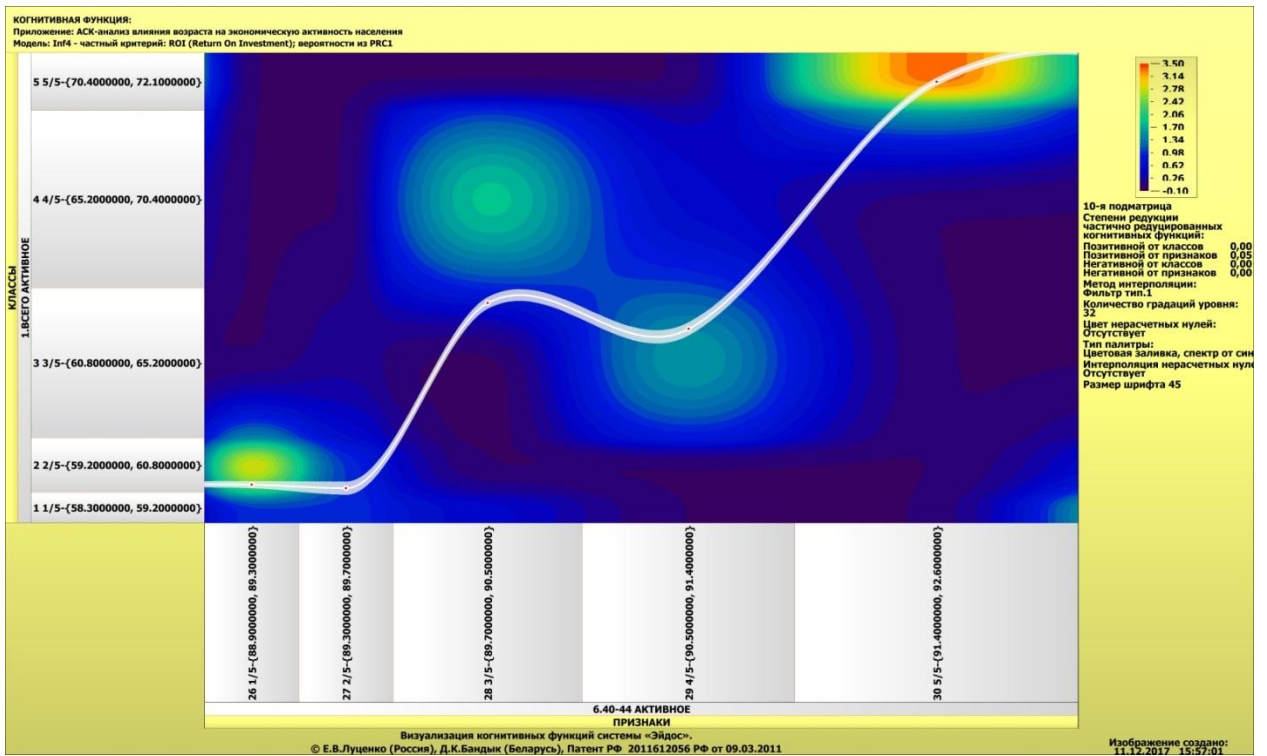


Рисунок 25 – Результат визуализации когнитивных функций модели INF4

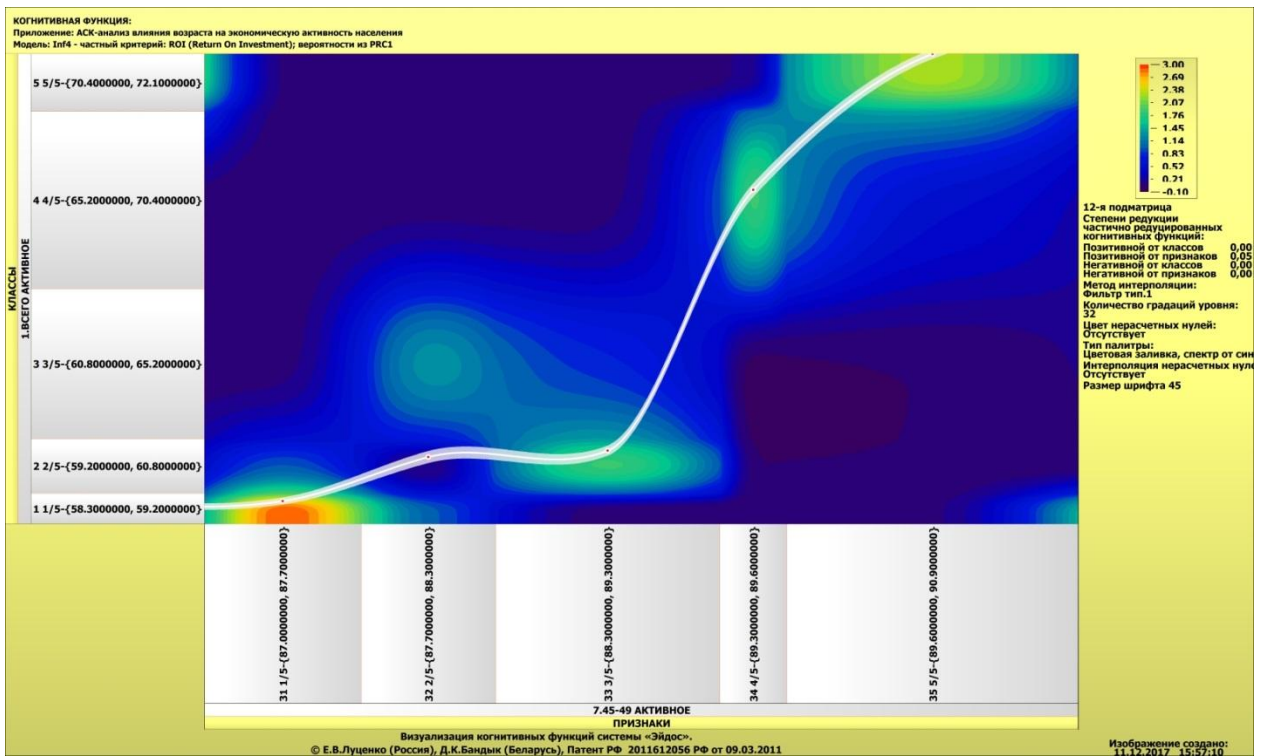


Рисунок 26 – Результат визуализации когнитивных функций модели INF4

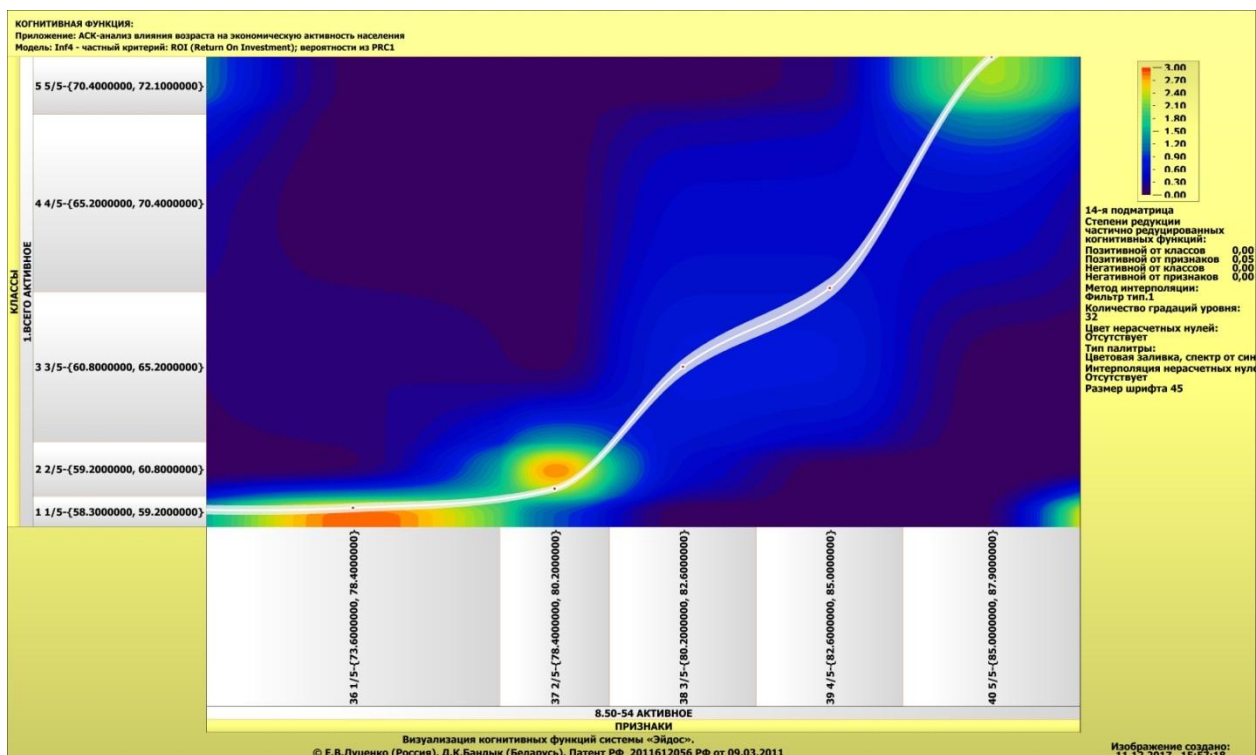


Рисунок 27 – Результат визуализации когнитивных функций модели INF4

2.3. SWOT и PEST матрицы и диаграммы

Одним из самым широко известно и распространенным методом стратегического планирования является SWOT – анализ. Однако данный метод очень часто подвергается критике, но это не без причины. В результате использования SWOT – анализа в нем было выявлено множество недостатков. Главной причиной этих недостатков является необходимость привлечения специалиста для оценки и силы и направления влияния факторов. Эту проблему можно решить только с помощью автоматизации функций экспертов. Данную функцию выполняет система «Эйдос». Эта система проводит SWOT – анализ без использования экспертных оценок непосредственно на основе эмпирических данных.

В данной работе представлено решение прямой и обратной задачи SWOT- анализа с построением традиционных SWOT – матриц и диаграмм (рисунок 28, 29).

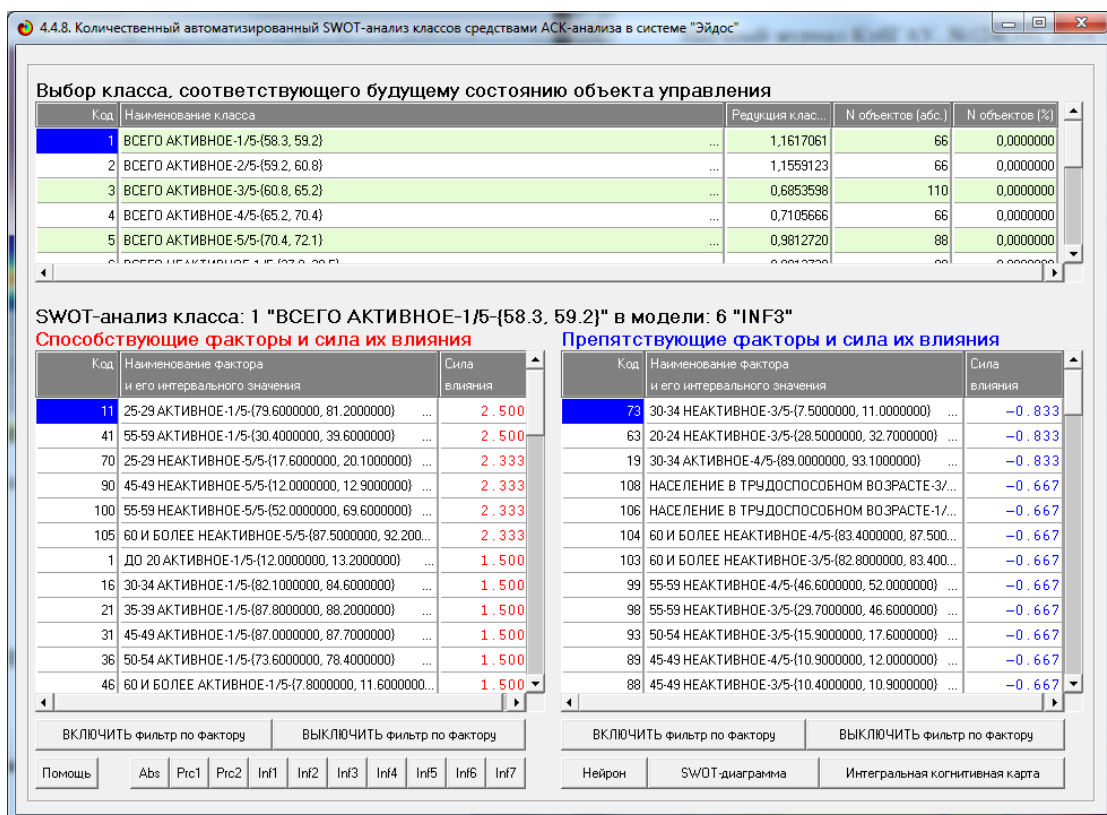


Рисунок 28 – Пример SWOT – матрицы в модели INF4

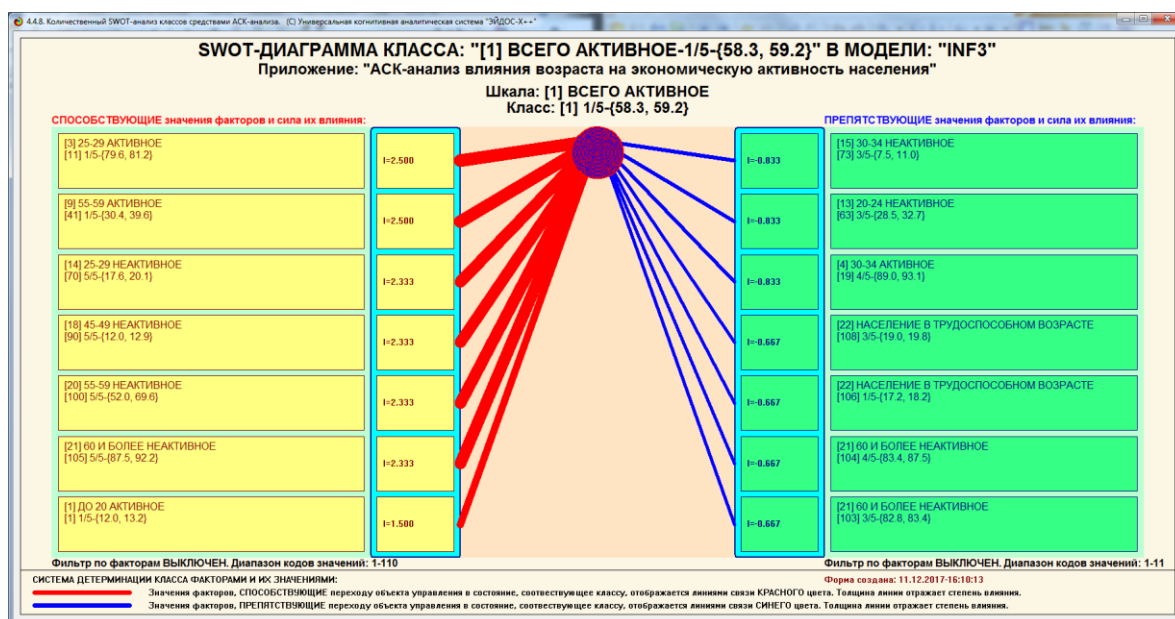


Рисунок 29 – Пример SWOT – матрицы в модели INF4

На рисунках 30, 31 приведены примеры инвертированной SWOT – матрицы и инвертированной SWOT – диаграммы в модели INF4.

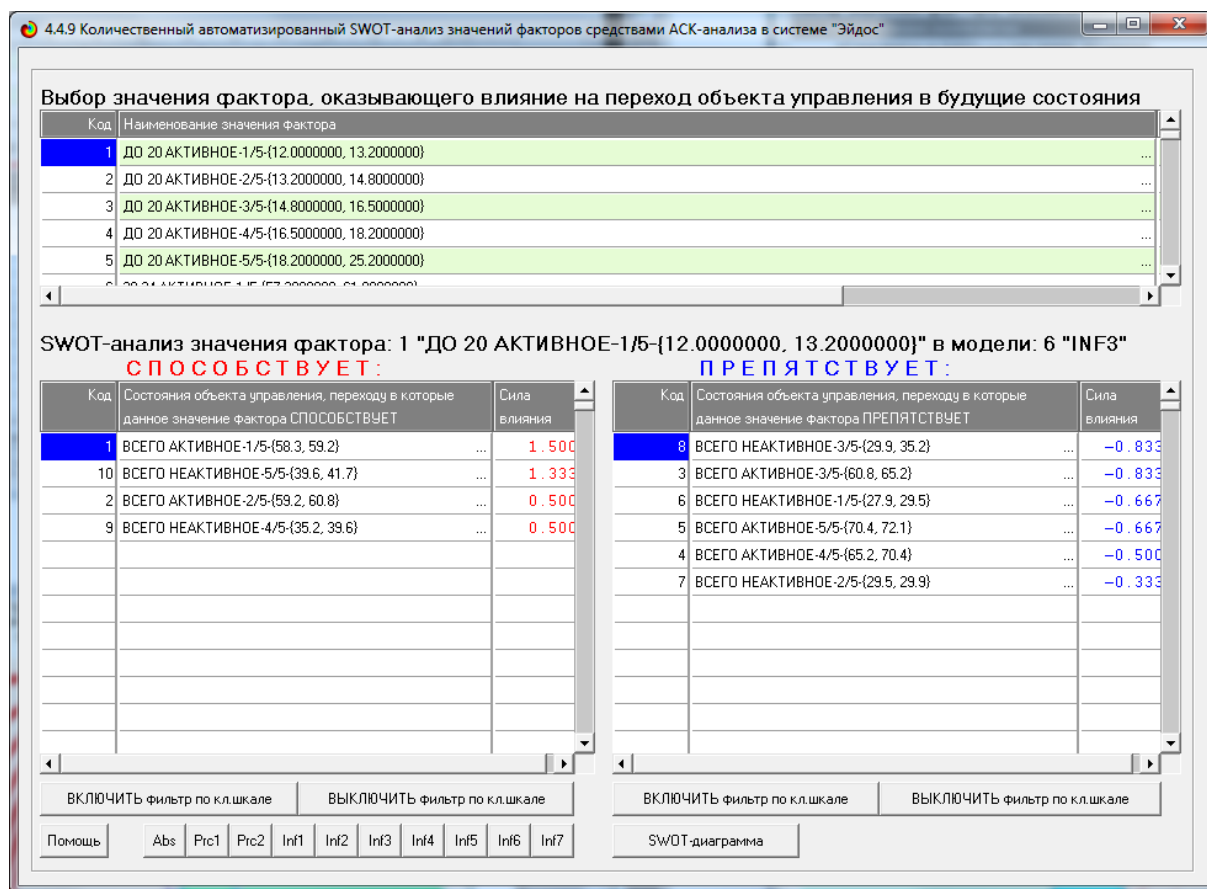


Рисунок 30 – Пример SWOT – матрицы в модели INF4

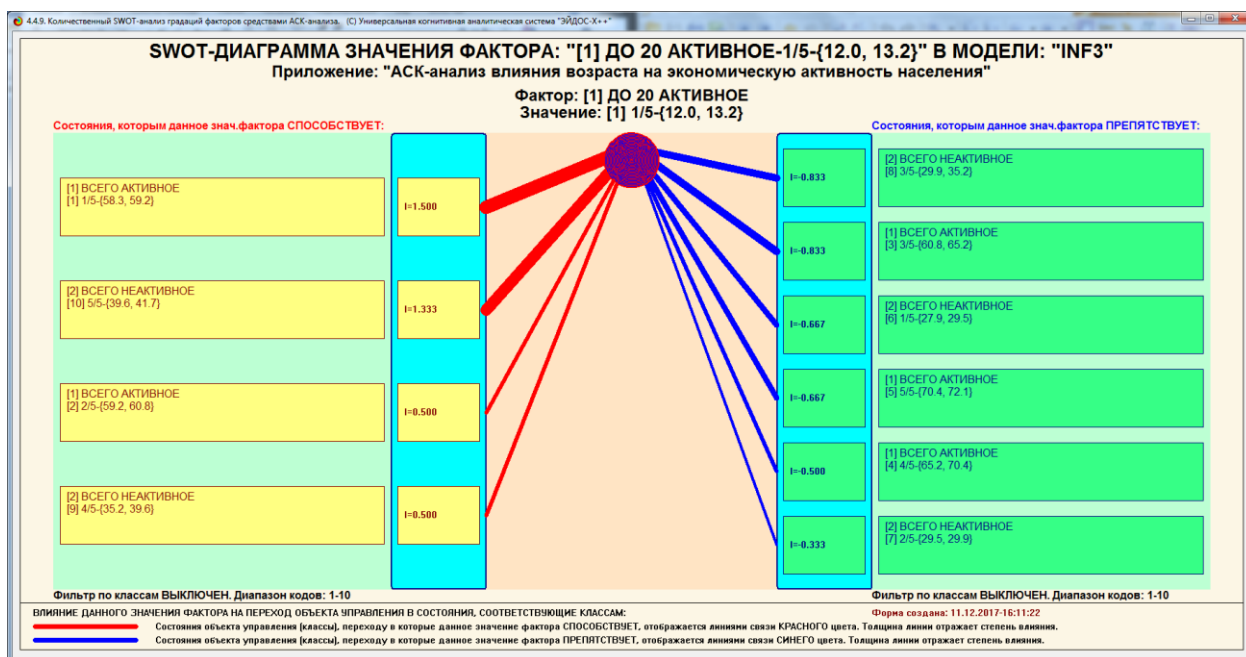


Рисунок 31 – Пример SWOT – матрицы в модели INF4

2.4. Кластерно – конструктивный анализ признаков

На рисунках 32, 33 приведены результаты кластерно-конструктивного анализа признаков:

4.3.2.2. Результаты кластерно-конструктивного анализа признаков

Конструкт признака: 1 "ДО 20 АКТИВНОЕ-1/5-(12.0, 13.2)" в модели: 7 "INF4"

| Код | Наименование признака | № | Код признака | Наименование признака | Сходство |
|-----|---|----|--------------|--|----------|
| 1 | ДО 20 АКТИВНОЕ-1/5-(12.000000, 13.2000000...) | 1 | 1 | ДО 20 АКТИВНОЕ-1/5-(12.000000, 13.2000000) | 100.000 |
| 2 | ДО 20 АКТИВНОЕ-2/5-(13.200000, 14.8000000...) | 2 | 11 | 25-29 АКТИВНОЕ-1/5-(79.600000, 81.2000000) | 92.906 |
| 3 | ДО 20 АКТИВНОЕ-3/5-(14.800000, 16.5000000...) | 3 | 7 | 20-24 АКТИВНОЕ-2/5-(61.900000, 64.6000000) | 76.417 |
| 4 | ДО 20 АКТИВНОЕ-4/5-(16.500000, 18.2000000...) | 4 | 6 | 20-24 АКТИВНОЕ-1/5-(57.200000, 61.9000000) | 56.523 |
| 5 | ДО 20 АКТИВНОЕ-5/5-(18.200000, 25.2000000...) | 5 | 2 | ДО 20 АКТИВНОЕ-2/5-(13.200000, 14.8000000) | 37.191 |
| 6 | 20-24 АКТИВНОЕ-1/5-(57.200000, 61.9000000)... | 6 | 12 | 25-29 АКТИВНОЕ-2/5-(81.200000, 82.5000000) | 36.873 |
| 7 | 20-24 АКТИВНОЕ-2/5-(61.900000, 64.6000000)... | 7 | 5 | ДО 20 АКТИВНОЕ-5/5-(18.200000, 25.2000000) | 27.174 |
| 8 | 20-24 АКТИВНОЕ-3/5-(64.600000, 68.0000000)... | 8 | 9 | 20-24 АКТИВНОЕ-4/5-(68.000000, 72.4000000) | 20.528 |
| 9 | 20-24 АКТИВНОЕ-4/5-(68.000000, 72.4000000)... | 9 | 3 | ДО 20 АКТИВНОЕ-3/5-(14.800000, 16.5000000) | -0.377 |
| 10 | 20-24 АКТИВНОЕ-5/5-(72.400000, 82.8000000)... | 10 | 13 | 25-29 АКТИВНОЕ-3/5-(82.500000, 87.5000000) | -0.717 |
| 11 | 25-29 АКТИВНОЕ-1/5-(79.600000, 81.2000000)... | 11 | 8 | 20-24 АКТИВНОЕ-3/5-(64.600000, 68.0000000) | -0.898 |
| 12 | 25-29 АКТИВНОЕ-2/5-(81.200000, 82.5000000)... | 12 | 4 | ДО 20 АКТИВНОЕ-4/5-(16.500000, 18.2000000) | -5.971 |
| 13 | 25-29 АКТИВНОЕ-3/5-(82.500000, 87.5000000)... | 13 | 15 | 25-29 АКТИВНОЕ-5/5-(92.300000, 93.3000000) | -6.046 |
| 14 | 25-29 АКТИВНОЕ-4/5-(87.500000, 92.3000000)... | 14 | 10 | 20-24 АКТИВНОЕ-5/5-(72.400000, 82.8000000) | -6.051 |
| 15 | 25-29 АКТИВНОЕ-5/5-(92.300000, 93.3000000)... | 15 | 14 | 25-29 АКТИВНОЕ-4/5-(87.500000, 92.3000000) | -6.140 |
| 16 | 30-34 АКТИВНОЕ-1/5-(82.100000, 84.6000000)... | | | | |
| 17 | 30-34 АКТИВНОЕ-2/5-(84.600000, 85.8000000)... | | | | |
| 18 | 30-34 АКТИВНОЕ-3/5-(85.800000, 89.0000000)... | | | | |
| 19 | 30-34 АКТИВНОЕ-4/5-(89.000000, 93.1000000)... | | | | |
| 20 | 30-34 АКТИВНОЕ-5/5-(93.100000, 93.7000000)... | | | | |
| 21 | 35-39 АКТИВНОЕ-1/5-(87.800000, 88.2000000)... | | | | |
| 22 | 35-39 АКТИВНОЕ-2/5-(88.200000, 89.0000000)... | | | | |
| 23 | 35-39 АКТИВНОЕ-3/5-(89.000000, 90.6000000)... | | | | |

Помощь Abs Proc Proc2 Inf1 Inf2 Inf3 Inf4 Inf5 Inf6 Inf7 График Вкл.фильтр по кликалке Выкл.фильтр по кликалке Вписать в окно Показать ВСЕ

Рисунок 32 – Результат кластерно-конструктивного анализа признаков

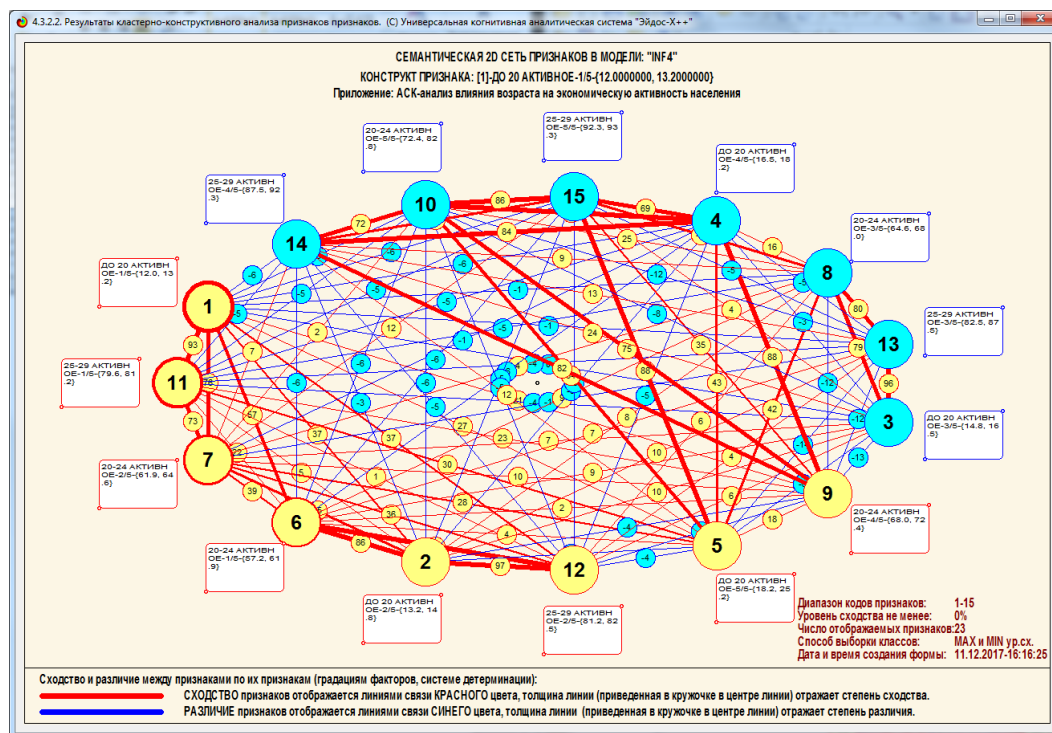


Рисунок 33 – Результат кластерно-конструктивного анализа признаков

2.5. Нелокальные нейроны и нелокальные нейронные сети

Система «Эйдос» обеспечивает возможность отображение нелокальных нейронов и нелокальных нейронных сетей, а также вывод когнитивных моделей нелокальных нейронов и нелокальных нейронных сетей.[2] В данной работе представлены графические отображения нелокальных нейронов (см. рис.35) и нелокальных нейронных сетей (см. рис. 37) достоверной модели INF4.

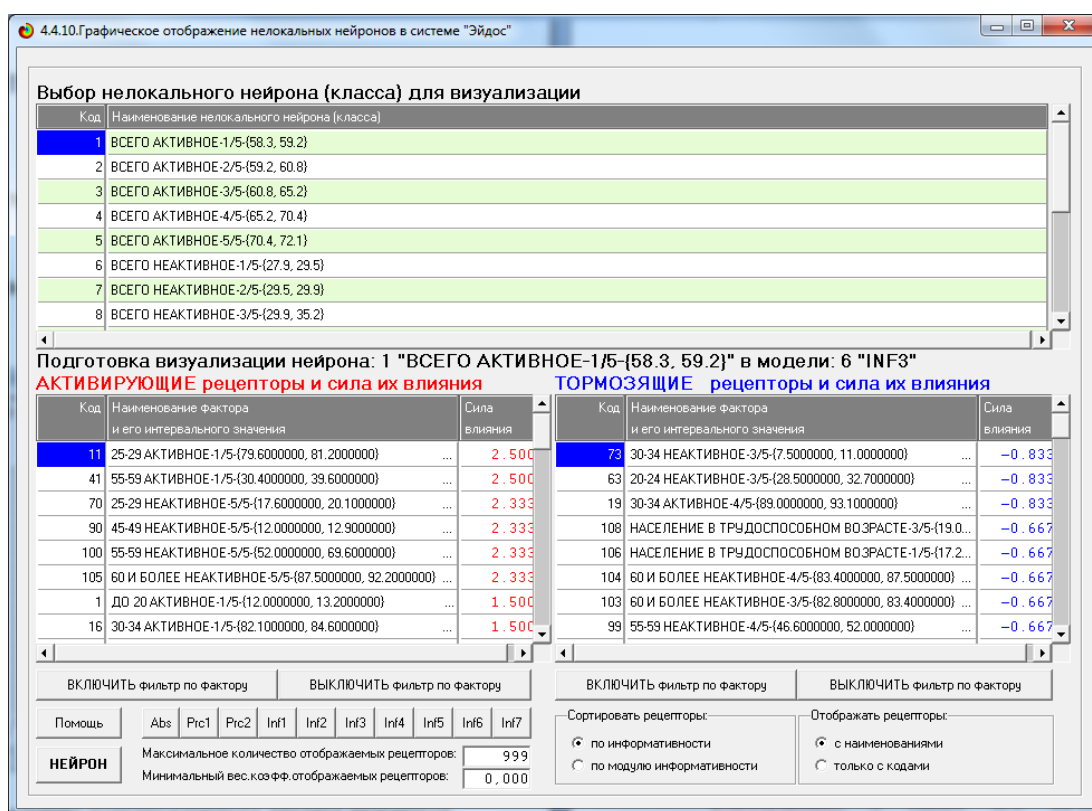


Рисунок 34 – Экранная форма режима 4.4.10 системы «Эйдос»



Рисунок 35 – Графическое отображение нелокальных нейронов модели INF4

4.4.11. Отображение Паретто-подмножеств нелокальной нейронной сети в системе "Эйдос"

Выбор нелокальных нейронов (классов) для визуализации в нейросети

| №el | Код | Наименование нелокального нейрона (класса) |
|-----|-----|--|
| 1 | 1 | ВСЕГО АКТИВНОЕ-1/5-[58.3, 59.2] |
| 2 | 2 | ВСЕГО АКТИВНОЕ-2/5-[59.2, 60.8] |
| 3 | 3 | ВСЕГО АКТИВНОЕ-3/5-[60.8, 65.2] |
| 4 | 4 | ВСЕГО АКТИВНОЕ-4/5-[65.2, 70.4] |
| 5 | 5 | ВСЕГО АКТИВНОЕ-5/5-[70.4, 72.1] |
| 6 | 6 | ВСЕГО НЕАКТИВНОЕ-1/5-[27.9, 29.5] |
| 7 | 7 | ВСЕГО НЕАКТИВНОЕ-2/5-[29.5, 29.9] |
| 8 | 8 | ВСЕГО НЕАКТИВНОЕ-3/5-[29.9, 35.2] |

Помощь Максимальное количество отображаемых нейронов: 16 ClearSet Диапазон кодов отображаемых нейронов: 1 - 10
 Максимальное количество отображаемых связей: 1000 Диапазон кодов отображаемых рецепторов: 1 - 110

Подготовка визуализации нейрона: 1 "ВСЕГО АКТИВНОЕ-1/5-[58.3, 59.2]" в модели: 7 "INF4"

АКТИВИРУЮЩИЕ рецепторы и сила их влияния **ТОРМОЗЯЩИЕ рецепторы и сила их влияния**

| Код | Наименование фактора и его интервального значения | Сила влияния |
|-----|--|--------------|
| 11 | 25-29 АКТИВНОЕ-1/5-(79.6000000, 81.2000000) | 5.000 |
| 41 | 55-59 АКТИВНОЕ-1/5-(30.4000000, 39.6000000) | 5.000 |
| 70 | 25-29 НЕАКТИВНОЕ-5/5-(17.6000000, 20.1000000) | 3.500 |
| 90 | 45-49 НЕАКТИВНОЕ-5/5-(12.0000000, 12.9000000) | 3.500 |
| 100 | 55-59 НЕАКТИВНОЕ-5/5-(52.0000000, 69.6000000) | 3.500 |
| 105 | 60 И БОЛЕЕ НЕАКТИВНОЕ-5/5-(87.5000000, 92.2000000) | 3.500 |
| 1 | ДО 20 АКТИВНОЕ-1/5-(12.0000000, 13.2000000) | 3.000 |
| 16 | 30-34 АКТИВНОЕ-1/5-(82.1000000, 84.6000000) | 3.000 |

ВКЛЮЧИТЬ фильтр по фактору ВЫКЛЮЧИТЬ фильтр по фактору ВКЛЮЧИТЬ фильтр по фактору ВЫКЛЮЧИТЬ фильтр по фактору

НейроСеть Максимальное количество отображаемых рецепторов: 16 Отображать связи с интенсивностью >= % от макс.: 0,000

Сортировка связи: по модулю информативности отображать наименования: нейроны, рецепторы
 по информативности и знаку

Рисунок 36 – Экранная форма режима 4.4.11 системы «Эйдос»

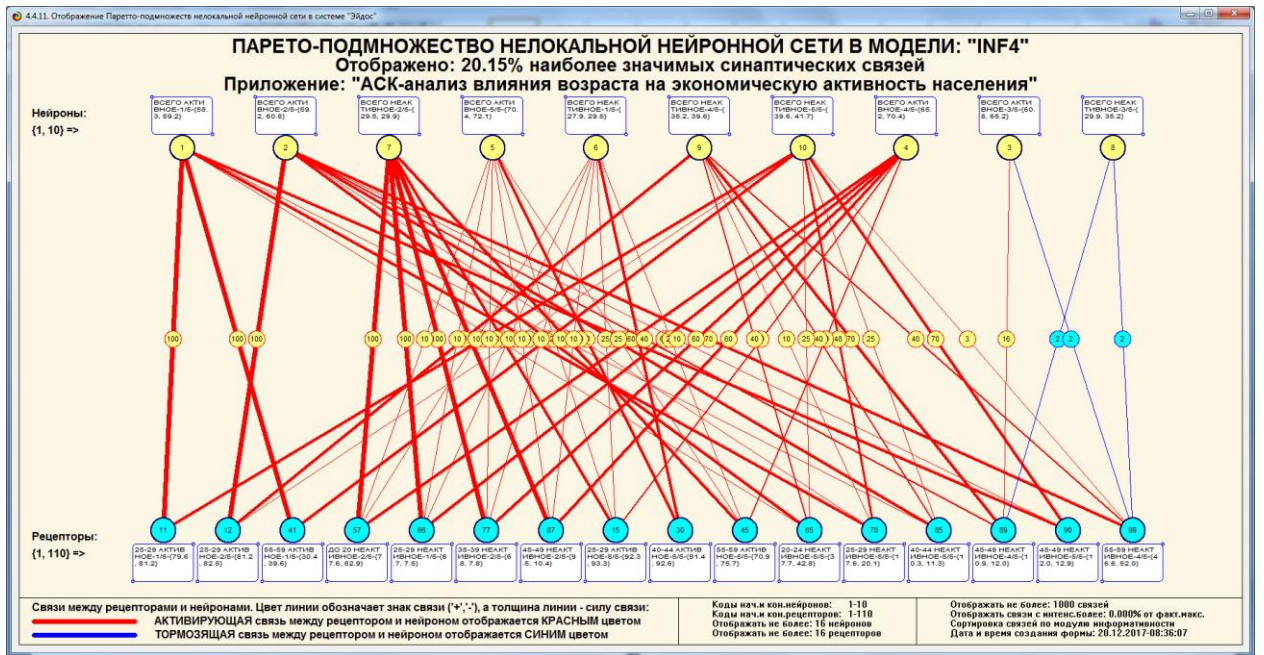


Рисунок 37 – Графическое изображение нелокальной нейронной сети в модели INF4

Заключение

Данная работа является примером использования АСК – анализа для оценки качества математических моделей модели в «Эйдос». В результате можно сказать, что наиболее достоверной оказалась модель INF4, основанная на семантической мере целесообразности информации А.Харкевича при интегральном критерии «Сумма знаний». Точность модель составляет 0,911, полнота – 1. Таким образом, уровень достоверности прогнозирования с применением модели выше, чем экспертных оценок, достоверность которых считается равной примерно 65%. Для оценки достоверности моделей в АСК - анализе и системе «Эйдос» используется L2-критерий профессора Е.В.Луценко, а также его нечеткое мультиклассовое обобщение, предложенное проф. Е.В.Луценко.

Данная лабораторная работа размещена в облаке средствами системы «Эйдос-Онлайн»[1].

Литература

1. Луценко Е.В. Открытая масштабируемая интерактивная интеллектуальная on-line среда для обучения и научных исследований на базе АСК-анализа и системы «Эйдос» / Е.В. Луценко // Политематический сетевой электронный научный журнал Кубанского государственного аграрного университета (Научный журнал КубГАУ) [Электронный ресурс]. – Краснодар: КубГАУ, 2017. – №06(130). С. 1 – 55. – IDA [article ID]: 1301706001. – Режим доступа: <http://ej.kubagro.ru/2017/06/pdf/01.pdf>, 3,438 у.п.л.

2. Луценко Е.В. Системная теория информации и нелокальные интерпретируемые нейронные сети прямого счета / Е.В. Луценко // Политематический сетевой электронный научный журнал Кубанского государственного аграрного университета (Научный журнал КубГАУ) [Электронный ресурс]. – Краснодар: КубГАУ, 2003. – №01(001). С. 79 – 91. – IDA [article ID]: 0010301011. – Режим доступа: <http://ej.kubagro.ru/2003/01/pdf/11.pdf>, 0,812 у.п.л.